

## บทที่ 3

### การสังเคราะห์และวิเคราะห์หลักมโนะเคมีโคและเทอร์พอยเมอร์

#### 3.1 สารเคมี เครื่องมือ และ อุปกรณ์

##### 3.1.1 สารเคมี

สารเคมีที่ใช้ในการทดลอง แสดงในตาราง 3.1

ตาราง 3.1 ชื่อสารเคมี ลักษณะการใช้งาน ความบริสุทธิ์ และบริษัทผู้ผลิตสารเคมี

ชื่อสารเคมี	ลักษณะการใช้งาน	ความบริสุทธิ์	บริษัทผู้ผลิต
กรดแอล (+)-แลคติก (L(+)-lactic acid)	นอนอเมอร์	88 %	Carlo Erbra
กรดไกโอลิก (glycolic acid)	นอนอเมอร์	99 %	Carlo Erbra
คัพโรแลคโทน (ε-caprolactone)	นอนอเมอร์	99 %	Acros Organics
สแตนนัสแอซิเตต (stannous acetate)	ตัวเริ่มปฏิกิริยา	95 %	Sigma
กรดพาราโทลูอิน ชัล ฟอนิก (p-toluene sulfonic acid)	ตัวเร่งปฏิกิริยา	99 %	Aldrich
แอนติโนนีไตรออกไซด์ (antimony trioxide)	ตัวเร่งปฏิกิริยา	เกรดสำหรับ ห้องปฏิบัติการ	Fluka AG
เอธิลอะซิเตต (ethyl acetate)	ตัวทำละลาย	เกรดสำหรับ ห้องปฏิบัติการ	Merck

ชื่อสารเคมี	ลักษณะการใช้งาน	ความบริสุทธิ์	บริษัทผู้ผลิต
คลอโรฟอร์ม (chloroform)	ตัวทำละลาย	เกรดสำหรับ ห้องปฏิบัติการ	Merck
แคลเซียมคลอไรค์ (Calcium chloride)	สารดูดความชื้น	เกรดสำหรับ ห้องปฏิบัติการ	Merck
ไมเลกคูลาร์ ไซฟ์ ขนาด 4 A (molecular sieves 4 A)	สารดูดความชื้น	เกรดสำหรับ ห้องปฏิบัติการ	Merck
น้ำมันซิลิโคน (silicone oil)	ตัวให้ความร้อน	เกรดสำหรับ ห้องปฏิบัติการ	Fluka AG

### 3.1.2 เครื่องมือและอุปกรณ์

เครื่องมือและอุปกรณ์ที่ใช้ในการศึกษาสมบัติ และลักษณะเฉพาะของพอลิเมอร์สำหรับการทดลองนี้แสดงดังตาราง 3.2

ตาราง 3.2 เครื่องมือและอุปกรณ์ที่ใช้ในการทดลอง

เครื่องมือและอุปกรณ์	บริษัทผู้ผลิต	รุ่น(Model)
พูเรียทรานส์ฟอร์ม-อินฟารेकสเปก โทรนิเตอร์ (FT-IR Spectrometer)	Bruker	TENSER 27
โปรดอน- เอ็นเอ็มอาร์ สเปก โทรนิเตอร์ ( <sup>1</sup> H-NMR Spectrometer)	Bruker	PRX 400
คาร์บอน- 13 เอ็นเอ็มอาร์ สเปก โทรนิเตอร์ ( <sup>13</sup> C-NMR Spectrometer)	Bruker	PRX 400

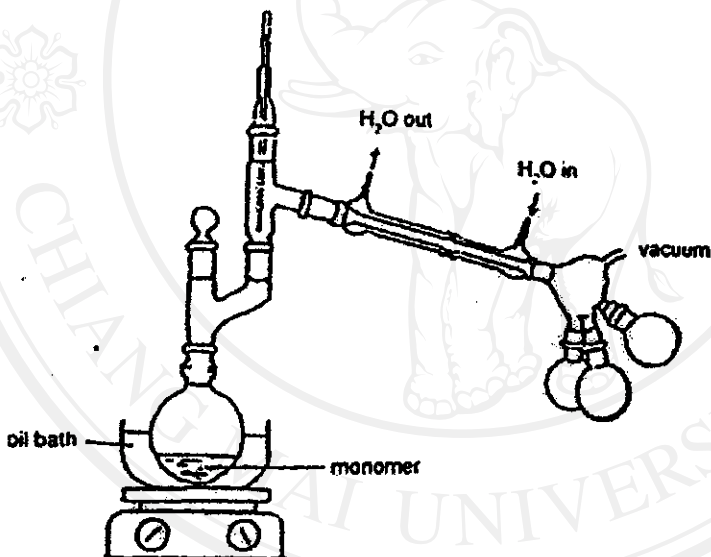
เครื่องมือและอุปกรณ์	บริษัทผู้ผลิต	รุ่น(Model)
ดิฟเฟอเรนเชียล สแกนนิ่ง แคลลอริเมตอร์ (Differential Scanning Calorimeter)	Perkin-Elmer	DSC7
เทอร์โมกราฟิกเอนაไลซ์เตอร์ (Thermogravimetric Analyzer)	Perkin-Elmer	TGA7
เจล เพอร์เมชัน โครโนไทกราฟ (Gel Permeation Chromatograph)	Waters	150-CV
เครื่องวิสโคมิเตอร์ระบบอัตโนมัติ (Automatic Viscosity Measuring System)	Schott- Gerate	AVS 300
ตู้อบสูญญากาศ (Vacuum Oven)	Eyela	VOS-300SD
ตู้ควบคุมความชื้นภายในตู้เร่ง (Controlled Atmosphere Glove Box)	Labconco	50004

ลิขสิทธิ์มหาวิทยาลัยเชียงใหม่  
Copyright © by Chiang Mai University  
All rights reserved

## 3.2 การทำสารเคมีให้บริสุทธิ์

### 3.2.1 การกลั่น $\epsilon$ -caprolactone

ในการสังเคราะห์ให้ได้พอลิเมอร์มวลไม่เลกุลสูง จำเป็นต้องใช้  $\epsilon$ -caprolactone ที่มีความบริสุทธิ์มากกว่า 99% จึงต้องทำการกลั่น  $\epsilon$ -caprolactone ให้บริสุทธิ์ภายใต้สูญญากาศ ขั้นตอนนี้ดังรูป 3.1 โดยให้ความร้อนที่อุณหภูมิ  $68-80^{\circ}\text{C}$  ความดัน  $5\text{ mmHg}$  ระหว่างกลั่นต้องรอให้อุณหภูมิกลงที่ก่อนจึงทำการเก็บส่วนที่จะนำไปใช้งาน  $\epsilon$ -caprolactone ที่กลั่นได้มีลักษณะเป็นของเหลวใส ไม่มีสี แล้วนำไปเก็บในขวดสีชาที่บรรจุในเลคคิวลาร์ ซีฟ ขนาด  $4\text{ L}$  โดยเก็บไว้ในถุงเย็นก่อนนำไปใช้งานเพื่อป้องกันการเกิดพอลิเมอร์ไรเรชัน



รูป 3.1 การขั้นตอนนี้ดังรูป 3.1 การจัดการกลั่น  $\epsilon$ -caprolactone ภายใต้สูญญากาศ

### 3.2.2 การกลั่นเอธิลอะซิเตท

เอธิลอะซิเตทที่มีอยู่ในห้องปฏิบัติการเป็นเกรดสำหรับทางการค้า ซึ่งมีความบริสุทธิ์ที่ไม่สูงพอสำหรับเป็นตัวทำละลายในการตกผลึกใหม่ของอนอมอร์ (แอลด-ಡեคไทด์ และ ไกคลอไรด์) ดังนั้นจะต้องผ่านกระบวนการกลั่นให้บริสุทธิ์ก่อน โดยทำการกลั่นที่อุณหภูมิ  $50^{\circ}\text{C}$  ด้วยเครื่อง rotary evapourator ภายใต้ความดัน  $300\text{ mbar}$  เอธิลอะซิเตทที่กลั่นได้จะมีความบริสุทธิ์สูง นำไปเก็บในขวดสีชาที่บรรจุในเลคคิวลาร์ ซีฟ ขนาด  $4\text{ L}$  ก่อนนำไปใช้งาน

### 3.2.3 การกลั่นคลอโรฟอร์ม

คลอโรฟอร์มที่ใช้ในงานวิจัยนี้ทำหน้าที่เป็นตัวทำละลายพอลิเมอร์ในการเตรียมตัวอย่างเพื่อทดสอบลักษณะเฉพาะ โดยเครื่องฟูรีบร์ทرانส์ฟอร์ม อินฟราเรด สเปกโตรสโคปี ซึ่งสามารถทำให้บริสุทธิ์ขึ้นด้วยการกลั่น โดยใช้เครื่อง rotary evaporator เมื่อฉันกับที่ใช้กลั่นอะติโลอะซิเตท แต่ใช้สภาวะการกลั่นที่ต่างกัน คือ กลั่นที่อุณหภูมิ  $40^{\circ}\text{C}$  ภายใต้ความดัน  $400 \text{ mbar}$  และคลอโรฟอร์มที่กลั่นได้นำไปเก็บในขวดสีชาที่บรรจุในเดคิวต้าร์ ซีฟ ขนาด  $4 \text{ L}$  ก่อนนำไปใช้งาน

## 3.3 การสังเคราะห์

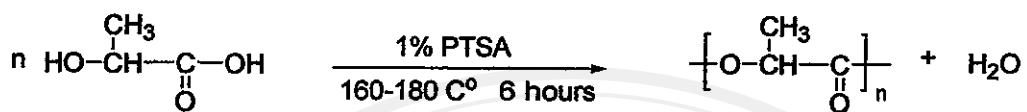
### 3.3.1 วิธีการเตรียมมอนอเมอร์ และทำให้บริสุทธิ์

#### 3.3.1.1 การสังเคราะห์ L-lactide

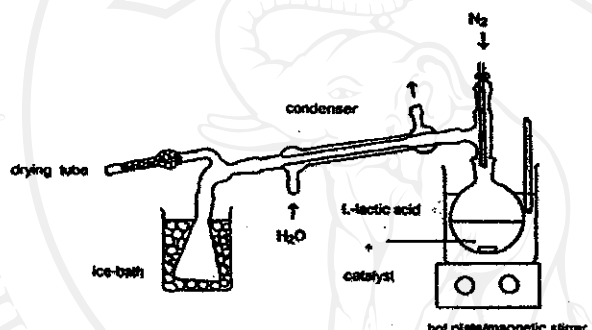
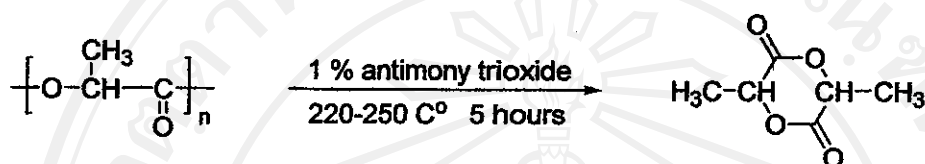
##### วิธีการสังเคราะห์ L-lactide มี 2 ขั้นตอนคือ

- (ก) การทำพอลิเมอร์ไตรีเซชันแบบควบแน่น (condensation polymerization) ของ L-lactic acid โดยใช้กรดพาราไทูลูนิก ซัลฟonic acid (*p*-tuluene sulfonic acid ; PTSA) 1% โดยนำน้ำหนัก เป็นตัวเร่งปฏิกิริยา ผสมสารทึ้งสองลงในขวดก้นกลมที่มีแท่งคนแม่เหล็ก และจัดตั้งอุปกรณ์การทดลองดังรูป 3.2 (ก) โดยให้ความร้อนแก่อ่างน้ำมันชิลิโคน อุณหภูมิ  $160\text{-}180^{\circ}\text{C}$  น้ำจะกลายเป็นไอแล้วควบแน่นลงในภาชนะที่รองรับซึ่งใช้เวลาประมาณ 3 ชั่วโมง จากนั้นต่อระบบเข้ากับปืนสูญญากาศ เพื่อช่วยในการกำจัดน้ำได้ดีใช้เวลาอีกประมาณ 3 ชั่วโมง จะได้ poly(L-lactic acid) เรียกย่อ ๆ ว่า PLLA ที่มีน้ำหนักไม่ถูกตัด
- (ก) การสลายตัวโดยความร้อน (thermal decomposition) ของ PLLA ที่มีน้ำหนักไม่ถูกตัด โดยใช้แอนติโนนีไตรออกไซด์ (antimony trioxide;  $\text{Sb}_2\text{O}_3$ ) 1% โดยนำน้ำหนักเป็นตัวเร่งปฏิกิริยา โดยใส่แอนติโนนีไตรออกไซด์ลงในขวดก้นกลมที่มี PLLA ที่ได้จากขั้นตอนแรก จากนั้นจัดอุปกรณ์ดังรูป 3.2(ก) และให้ความร้อนแก่น้ำมันชิลิโคนที่อุณหภูมิ  $220\text{-}250^{\circ}\text{C}$  ภายใต้ความดันประมาณ  $3\text{-}5 \text{ mmHg}$  เป็นเวลา 5 ชั่วโมง ปฏิกิริยาการสังเคราะห์แสดงดังสมการข้างล่างนี้

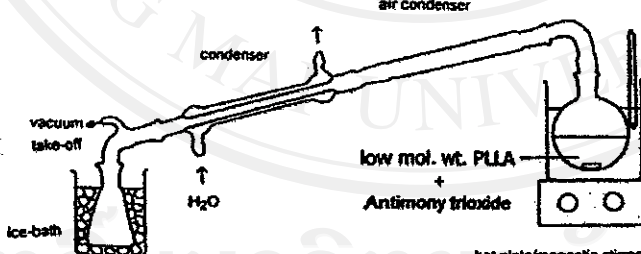
ขั้นตอนที่ 1 การสังเคราะห์ PLLA ที่มีน้ำหนักโมเลกุลต่ำ โดยกระบวนการความแปร่ง



ขั้นตอนที่ 2 การสลายตัวด้วยความร้อนของ PLLA ที่มีน้ำหนักโมเลกุลต่ำให้เป็น L-lactide



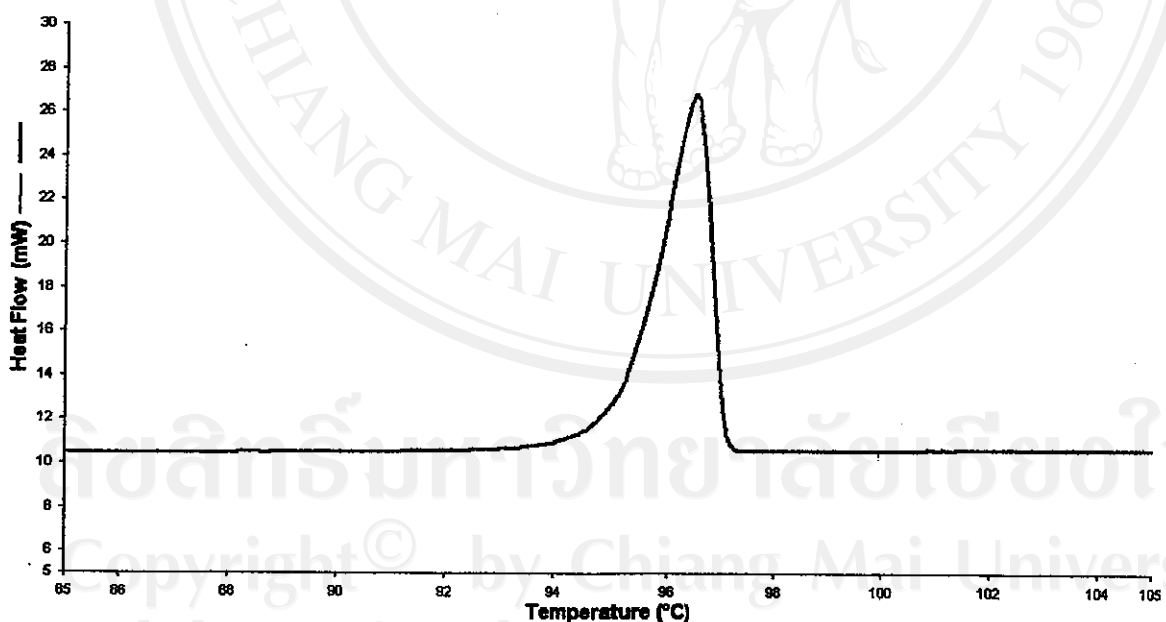
(ก)



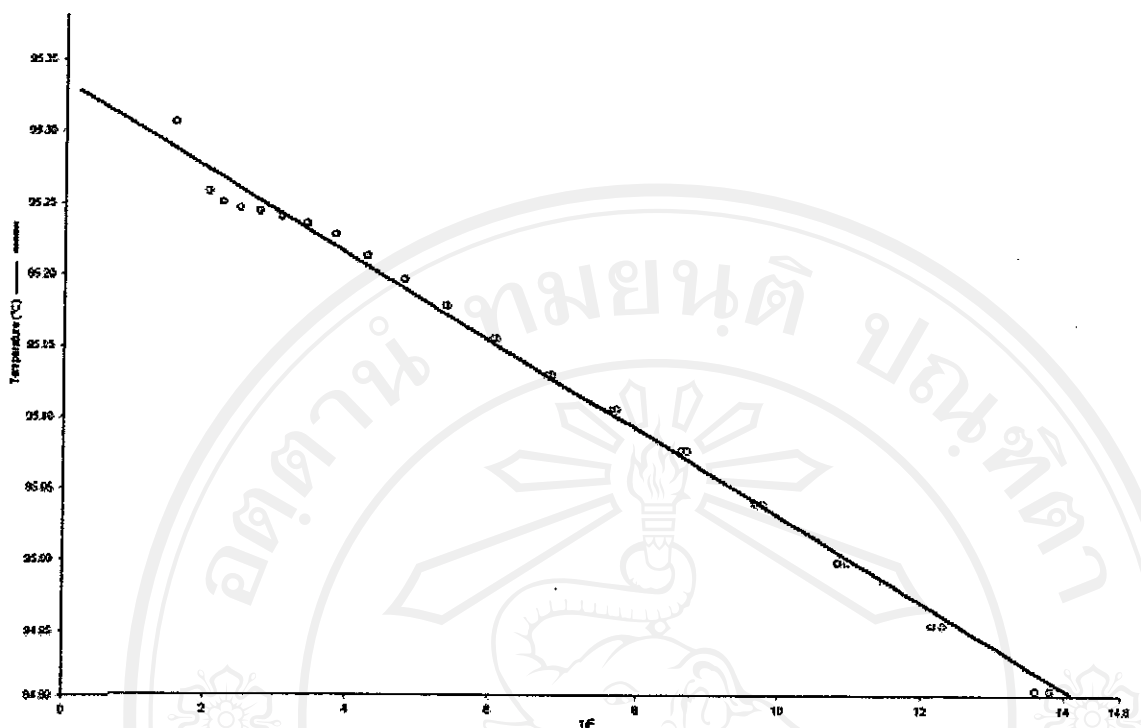
(ก)

รูป 3.2 ขั้นตอนการสังเคราะห์ L-lactide (ก) ขั้นตอนที่ 1 (ห) ขั้นตอนที่ 2  
Copyright © by Chiang Mai University  
All rights reserved

L-lactide ที่สังเคราะห์ได้มีลักษณะเป็นผลึกสีน้ำตาลแดง นำ L-lactide ที่ควบแน่นเป็นผลึกจากที่ condenser (crude L-lactide) ออกมายิ่งขึ้นจะช่วยป้องกันการตกร่องใหม่ (recrystallisation) โดยใช้อุณหภูมิที่ก้อนบริสุทธิ์แล้วเป็นตัวทำละลาย ให้ความร้อนที่อุณหภูมิ 60-70°C จนผลึก L-lactide ละลายหมด ตั้งทิ้งไว้ให้เย็นในอุณหภูมิห้องจะได้ผลึกของ L-lactide สีขาวปุ่นที่ภาวะอยู่ด้านล่างปอนอยู่กับสารละลายเอธิลอะซิเตท จากนั้นนำเข้าถุงเย็น ซึ่งเป็นการลดอุณหภูมิ L-lactide จะตกผลึกได้เพิ่มมากขึ้น กรองผลึกที่ได้ออกครั้งด้วย buchner funnel แล้วล้างตะกอนด้วยเอธิลอะซิเตทเย็น แล้วทำการกรองผลึกใหม่ด้วยกระบวนการที่กล่าวมาแล้วข้างต้น ทำซ้ำ 3-4 ครั้ง จนได้ผลึก L-lactide ที่มีความบริสุทธิ์สูง จากนั้นนำไปกรองโดยใช้ sintered glass filter เบอร์ 4 และอบให้แห้งในตู้อบสูญญากาศที่อุณหภูมิ 55°C เป็นเวลา 48 ชั่วโมง จากนั้นนำ L-lactide ไปวิเคราะห์หาร้อยละของความบริสุทธิ์ โดยใช้เครื่อง DSC และจากการวิเคราะห์จากสมการของ van't Hoff (คุณภาพนวก) พบว่า L-lactide มีความบริสุทธิ์เท่ากับ 99.96 ไมล์ เปอร์เซนต์ ซึ่งผลการวิเคราะห์แสดงดังรูป 3.3 และ รูป 3.4



รูป 3.3 DSC เทอร์โมแกรมของ L-lactide ที่ผ่านการตกร่องให้บริสุทธิ์ 4 ครั้ง



รูป 3.4 ผลการวิเคราะห์หาความบริสุทธิ์ของ L-lactide โดยการพลีอตจากสมการ van't Hoff

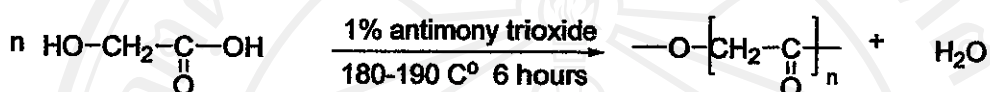
### 3.3.1.2 การสังเคราะห์ Gycolide

วิธีการสังเคราะห์ Gycolide มี 2 ขั้นตอนคือ

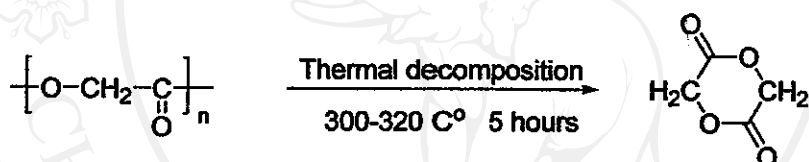
- (ก) การทำโพลิเมอร์ไรซ์ชันแบบควบแน่น (condensation polymerization) ของ glycolic acid โดยใช้แอนติโนนิไครออกไซด์ (antimony trioxide;  $Sb_2O_3$ ) 1% โดยน้ำหนัก เป็นตัวเร่งปฏิกิริยา ผสมสารทึ้งสองลงในขวดก้นกลมที่มีแท่งคนแม่เหล็กและจัดตั้งอุปกรณ์การทดลองดังรูป 3.2 (ก) (ในรูปเป็นการแสดงรายละเอียดของการสังเคราะห์ LL) โดยให้ความร้อนแก่อ่างน้ำมันชลิโคนอุณหภูมิ  $180-190^{\circ}C$  น้ำจะถูกถ่ายเป็นไอกแล้วควบแน่นลงในภาชนะที่รองรับซึ่งใช้เวลาประมาณ 3 ชั่วโมง จากนั้นต่อระบบเข้ากับน้ำมันสูญญากาศ เพื่อช่วยในการกำจัดน้ำได้ดีใช้เวลาอีกประมาณ 3 ชั่วโมง จะได้ poly(glycolic acid) เรียกว่าย่อ ๆ ว่า PGA ที่มีน้ำหนักโมเลกุลต่ำ

- (v) การสลายตัวโดยความร้อน (thermal decomposition) ของ PGA ที่มีน้ำหนักโมเลกุลต่ำ ที่ได้จากขั้นตอนแรก จากนั้นจัดอุปกรณ์ดังรูป 3.2(๔) (ในรูปเป็นการแสดงรายละเอียดของการสังเคราะห์ LL) แล้วให้ความร้อนแก่น้ำมันซิลิโคนที่อุณหภูมิ 300-320 °C ภายใต้ความดันประมาณ 3-5 mmHg เมื่อเวลา 5 ชั่วโมง ปฏิกริยาการสังเคราะห์แสดงดังสมการข้างล่างนี้

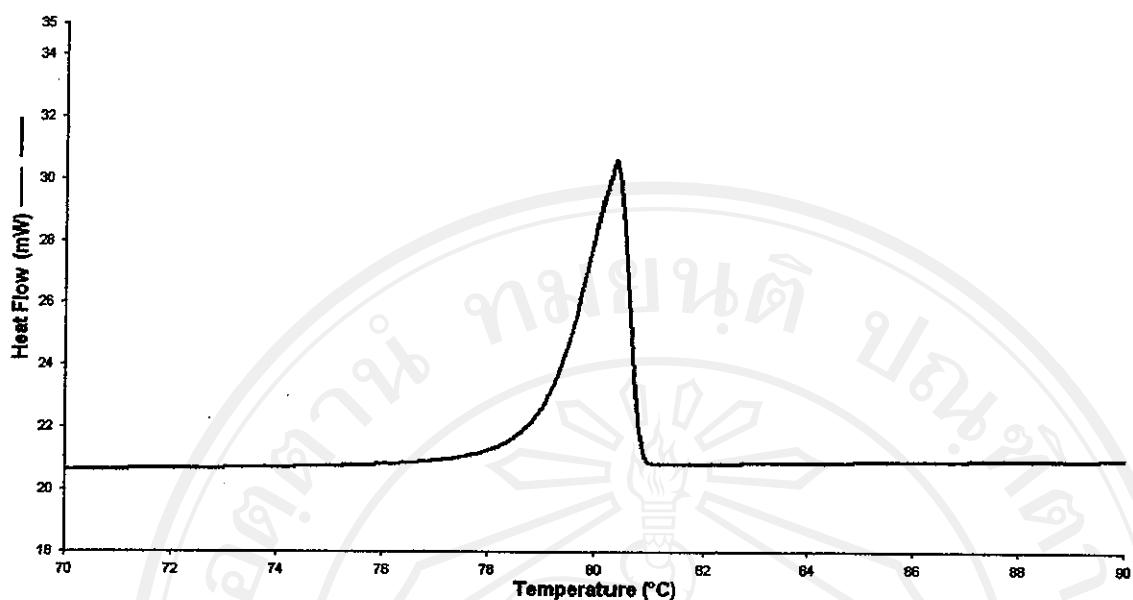
ขั้นตอนที่ 1 การสังเคราะห์ PGA ที่มีน้ำหนักโมเลกุลต่ำ โดยกระบวนการควบแน่น



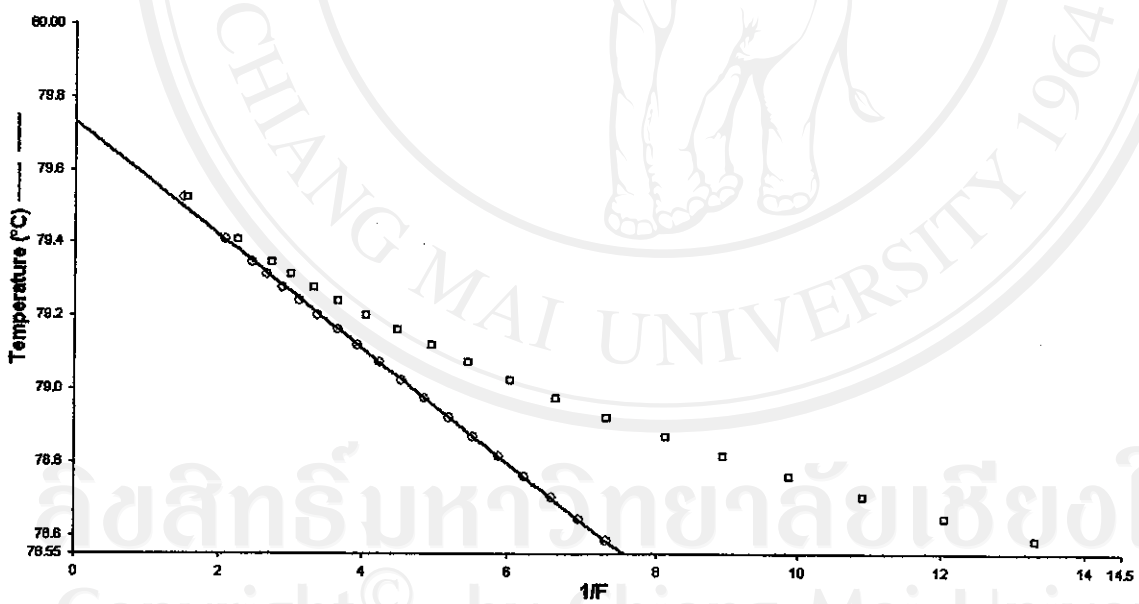
ขั้นตอนที่ 2 การสลายตัวด้วยความร้อนของ PGA ที่มีน้ำหนักโมเลกุลต่ำให้เป็น glycolide



glycolide ที่สังเคราะห์ได้มีลักษณะเป็นผลึกสีเหลืองอ่อน นำ glycolide ที่ควบแน่นเป็นผลึกเกาะที่ condenser (crude glycolide) ออกมายังชุดรีซูฟฟิล์เตอร์ ออกจากนั้นทำการตกผลึกใหม่ (recrystallisation) โดยใช้อุปกรณ์เชิงพาณิชย์ที่กลั่นบริสุทธิ์แล้วเป็นตัวทำละลาย ให้ความร้อนที่อุณหภูมิ 60-70 °C จนผลึก glycolide ละลายหมด ตั้งทิ้งไว้ให้เย็นในอุณหภูมิห้องจะได้ผลึกของ glycolide ที่ขาวขุ่นมีลักษณะคล้ายใบไม้เกาะอยู่ด้านล่างปูนอยู่กับสารละลายเอทิลอะซีเตท จากนั้นนำเข้าถ้วยเย็น ซึ่งเป็นการลดอุณหภูมิ glycolide จะตกผลึกได้เพิ่มมากขึ้น กรองผลึกที่ได้อีกรังด้วย buchner funnel แล้วถ่ายต่อไปยังอุปกรณ์เชิงพาณิชย์ เช่น แล้วทำการการตกผลึกใหม่ด้วยกระบวนการที่กล่าวมาแล้วข้างต้น ทำซ้ำ 3-4 ครั้ง จนได้ผลึก glycolide ที่มีความบริสุทธิ์สูง จากนั้นนำไปกรองโดยใช้ sintered glass filter เบอร์ 4 และอบให้แห้งในตู้อบสูญญากาศ ที่อุณหภูมิ 55 °C เมื่อเวลา 48 ชั่วโมง จากนั้นนำ glycolide ไปวิเคราะห์หาร้อยละของความบริสุทธิ์ โดยใช้เครื่อง DSC และจากการวิเคราะห์จากสมการของ van't Hoff พบร่วม L-lactide มีความบริสุทธิ์เท่ากับ 99.80 ไมล์ เปอร์เซ็นต์ ซึ่งผลการวิเคราะห์แสดงดังรูป 3.5 และ รูป 3.6



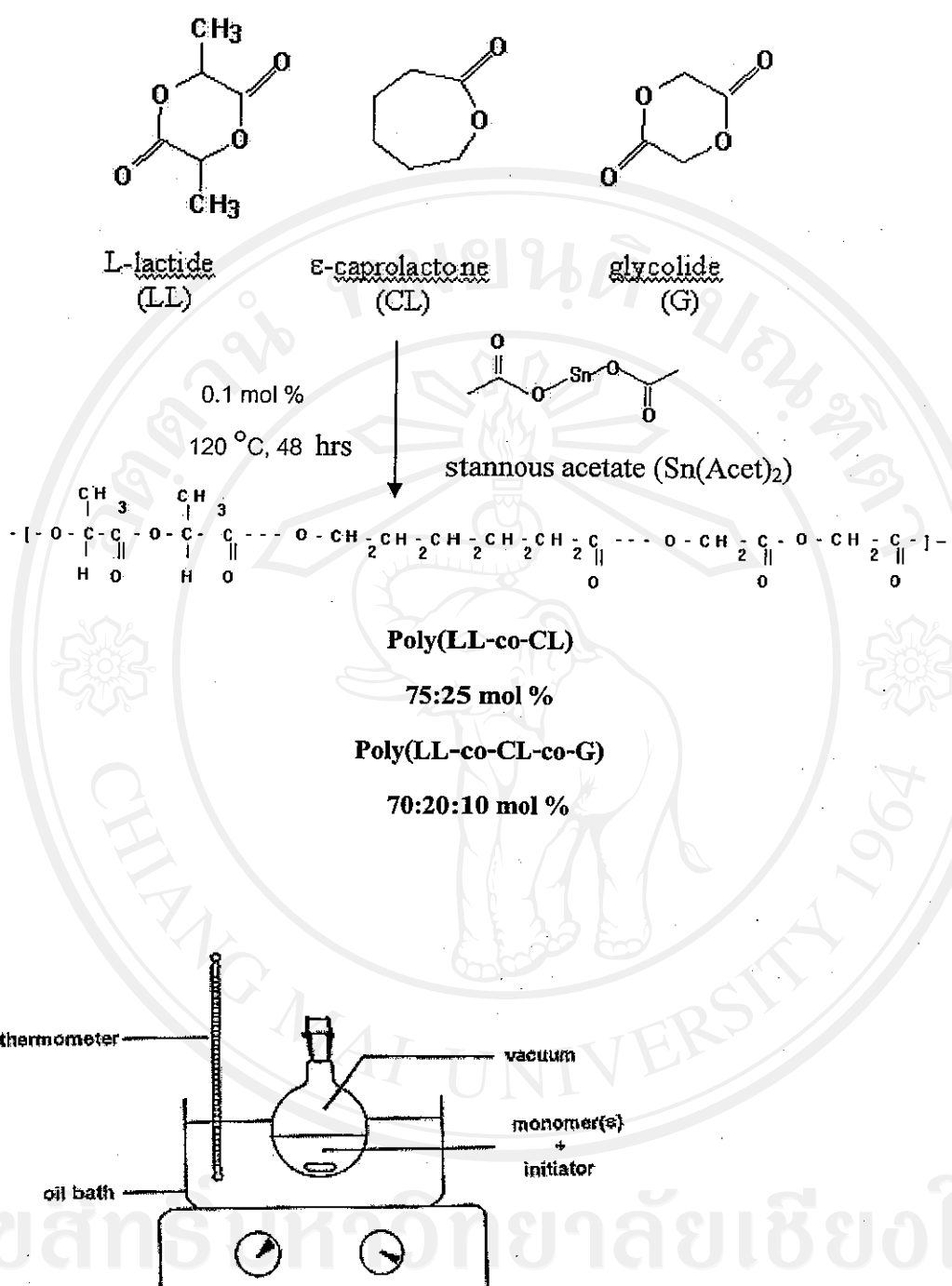
รูป 3.5 DSC เทอร์โมแกรมของ glycolide ที่ผ่านการตกผลึกให้บริสุทธิ์ 4 ครั้ง



รูป 3.6 ผลการวิเคราะห์หาความบริสุทธิ์ของ glycolide โดยการพล็อตจากสมการ Van't Hoff

### 3.4 การสังเคราะห์โคและเทอร์โพลิเมอร์

การสังเคราะห์พอลิเมอร์แบบสุ่มของ L(+) -lactide (LL) ε-caprolactone (CL) และ glycolide (G) โดยสังเคราะห์โคพอลิเมอร์(P(LL-co-CL)) ในอัตราส่วน LL : CL = 75 : 25 mol % และเทอร์โพลิเมอร์(P(LL-co-CL-co-G)) ในอัตราส่วน LL : CL : G = 70 : 20 : 10 mol % ทำโดยผ่านกระบวนการบล็อกพอลิเมอไรเซชันแบบเปิดวง (bulk ring-opening polymerisation) โดยผสม L(-)-lactide, ε-caprolactone และ glycolide ตามอัตราส่วนในตาราง 3.3 โดยมี stannous acetate 0.1mol % เป็นตัวเริ่มปฏิกิริยา เทหงผสนทั้งหมดคงในขวดก้นกลมและทำในศูนย์ความชื้นที่อุณหภูมิห้อง ภายใต้บรรยายกาศในไตรเจนแห้ง ปิดด้วย vacuum stopcock จากนั้นนำออกจากศูนย์ความชื้น เพื่อนำไปตั้งใน silicone oil ดังแสดงในรูป 3.7 ที่อุณหภูมิ 120 °C เพื่อให้หลอม พร้อมกับการให้เข้ากันด้วยแท่งคนแม่เหล็กจนได้ของเหลวหนืด เป็นเวลา 48 ชั่วโมง หลังจากที่ไว้ให้เย็น แค่พอลิเมอร์ออกจากขวด ตัดเป็นชิ้นเล็กๆ แล้วนำไปอบที่อุณหภูมิ 80 °C ภายใต้ความดันสูญญากาศเพื่อไล่分子เมอร์ที่เหลือในปฏิกิริยาออกให้หมด แล้วเก็บไว้ใน vacuum desiccator จนกว่าจะใช้งาน ปฏิกิริยาที่เกิดขึ้นจากการสังเคราะห์แสดงดังสมการข้างล่างนี้



รูป 3.7 การจัดอุปกรณ์ในการสังเคราะห์โภคและเทอร์พอลิเมอร์แบบสุ่ม

Copyright © by Chiang Mai University  
All Rights Reserved

### ตาราง 3.3 ปริมาณของนอนอเมอร์และตัวเร่งปฏิกิริยาในการสังเคราะห์พอลิเมอร์

Polymer code	LL:CL:G (mol %)	นอนอเมอร์ และ ตัวเร่งปฏิกิริยา	น้ำหนักที่ คำนวณได้ (g)	น้ำหนักที่ซึ่ง จริง (g)
P(LL-co-CL)	75:25:0	L-lactide	15.8420	15.830
		E-caprolactone	4.1760	4.1790
		Sn(Acet) <sub>2</sub>	0.0346	0.0350
P(LL-co-CL-co-G)	70:20:10	L-lactide	18.6375	18.6399
		E-caprolactone	4.2150	4.3130
		glycolide	2.1450	2.1460
		Sn(Acet) <sub>2</sub>	0.0437	0.0436

### 3.5 การหาค่าคง常ะเฉพาะของโภคและเทอර์พอลิเมอร์

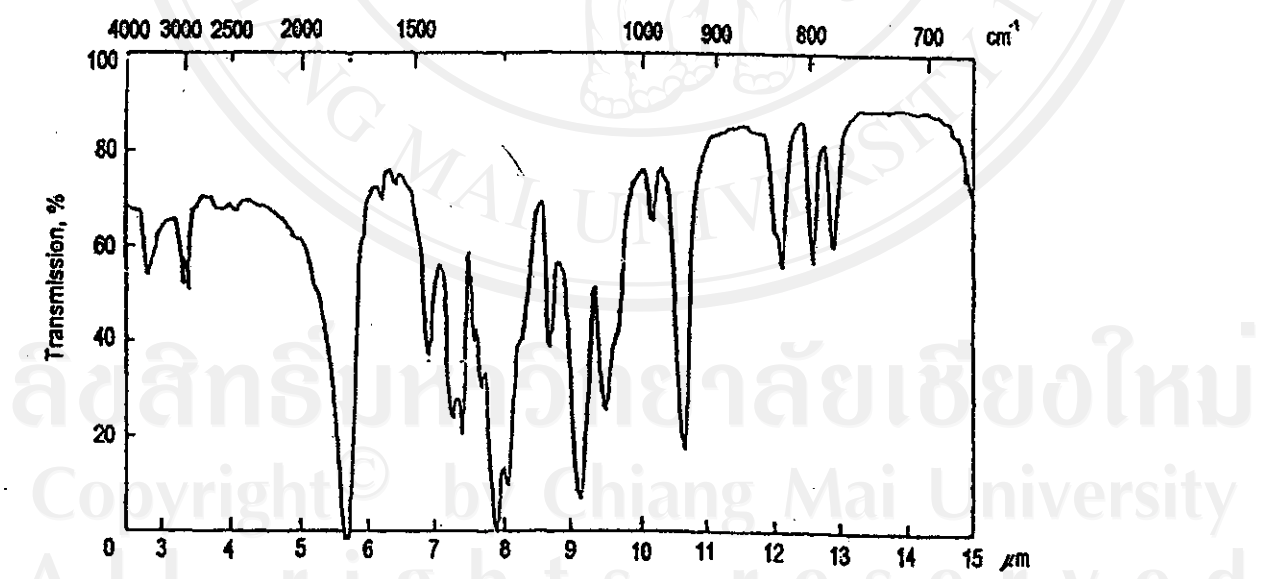
#### 3.5.1 อินฟราเรดスペกโถรสโคปี (Infrared Spectroscopy, IR)

อินฟราเรดスペกโถรสโคปี (Infrared spectroscopy, IR) เป็นเทคนิคที่นิยมใช้พิสูจน์หาโครงสร้างโมเลกุล และวิเคราะห์หาหมู่ฟังชันของสาร [42-44] โดยอาศัยหลักการคูดกลืนรังสีอินฟาร์ดของโมเลกุล เมื่อโมเลกุลคูดกลืนรังสีอินฟาร์ดที่มีความถี่ตรงกับความถี่ของการสั่นของพันธะในโมเลกุล จะทำให้แอมพลิจูดของการสั่นของพันธะระหว่างอะตอมในโมเลกุลเพิ่มขึ้น หรือโมเลกุลถูกกระตุ้นให้อยู่ในสภาวะเร้า (excited state) และจะกลับคืนสู่สภาวะปกติ (ground state) เมื่อพลังงานที่ถูกดูดเข้าไป ถูกปลดปล่อยออกมานี้รูปพลังงานความร้อน โดยโมเลกุลที่มีอะตอมต่างชนิดกัน เช่น C-H C=O และ O-H จะคูดกลืนรังสีอินฟาร์ดที่ความถี่ต่างกัน ทั้งนี้ขึ้นอยู่กับชนิดของพันธะและมวลของอะตอม

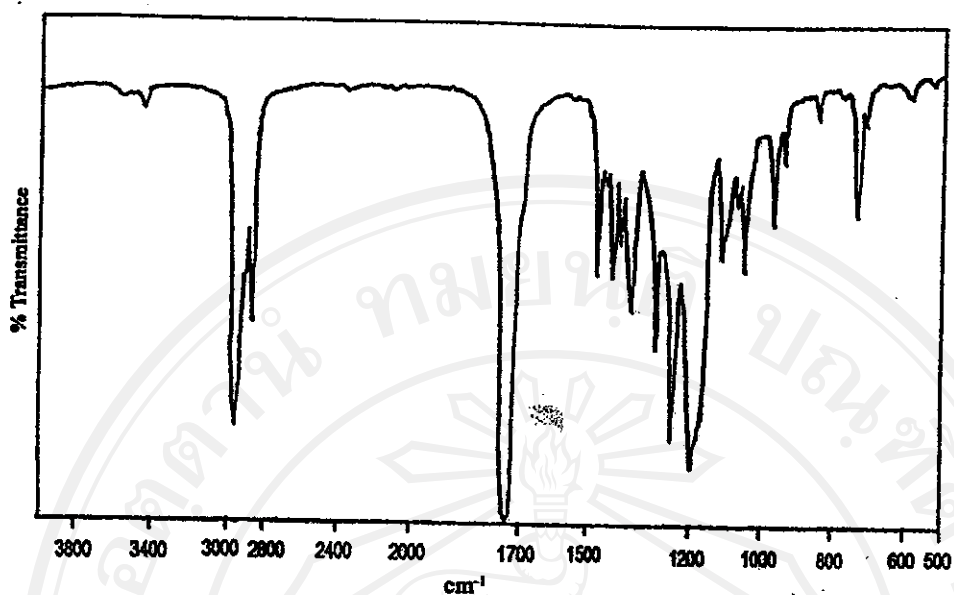
IR สเปกตรัม แบ่งออกเป็น 3 ช่วง (1) ช่วงเนียร์อินฟาร์ด (near IR region) ช่วงนี้มีประโยชน์ในการวิเคราะห์สารประกอบอ่อนตัว (2) ช่วงมิดเดล อินฟาร์ด (middle IR region) ช่วงนี้จะให้ข้อมูลเกี่ยวกับหมู่ฟังก์ชันและโครงสร้างโมเลกุลของสาร และ (3) ช่วงฟาร์อินฟาร์ด (far

IR region) สเปกตรัมในช่วงนี้เกิดจาก การสั่นของโครงสร้างหรือเกิดการหมุนของโมเลกุล จึงไม่ค่อยนำมาใช้กับการวิเคราะห์ เพราะจะนั่นช่วงที่มีประโยชน์ในการวิเคราะห์คือ ช่วงมิคเคลอินฟรารेडที่เลขค่า (wave number) อยู่ในช่วง  $4,000\text{-}650\text{ cm}^{-1}$  โดยแบ่งออกอีกเป็น 2 ช่วง คือ ย่านความถี่ของหมู่ฟังก์ชัน (group frequency region) เป็นช่วงที่อยู่ระหว่าง  $4,000\text{-}1300\text{ cm}^{-1}$  สเปกตรัมที่ได้ในช่วงนี้ส่วนใหญ่ได้จากฟังก์ชัน แต่ไม่ได้จากโครงสร้างทั้งหมด และย่านรอยนิ้วมือ (finger print region) เป็นช่วงที่อยู่ระหว่าง  $1300\text{-}650\text{ cm}^{-1}$  สเปกตรัมที่ได้ในช่วงนี้เกิดจากโครงสร้างโมเลกุลที่สมบูรณ์ การวิเคราะห์ซึ่งต้องใช้วิธี เปรียบเทียบกับสเปกตรัมของสารที่ทราบโครงสร้างแล้ว [43-44]

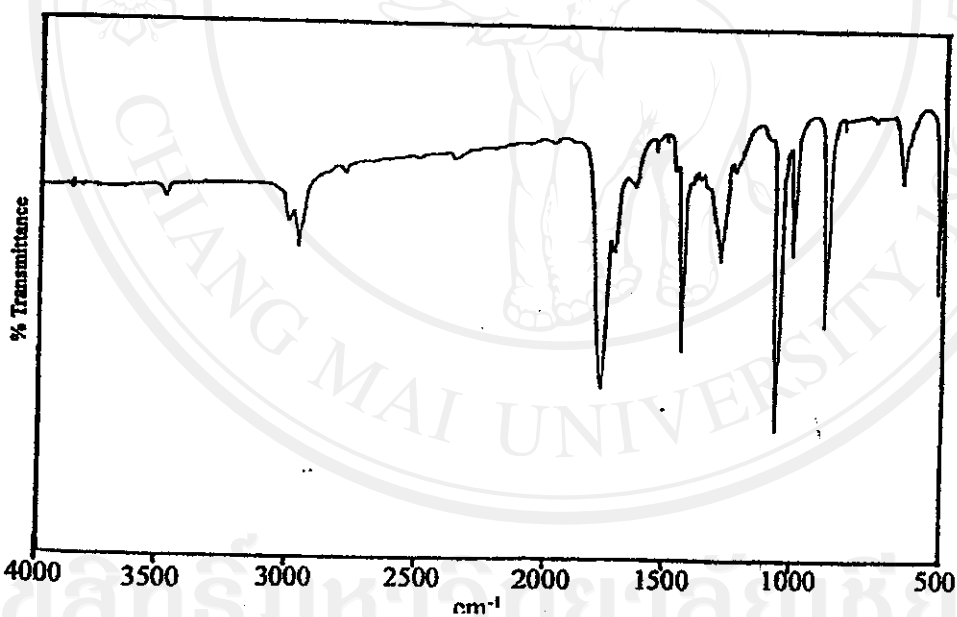
ในงานวิจัยใช้เทคนิคฟูเรียร์ทรายสฟอร์ม อินฟราเรดสเปกตรัม (FT-IR) สำหรับวิเคราะห์ พอลิเมอร์ ในส่วนการเตรียมสารตัวอย่างทำโดยละลายพอลิเมอร์ในคลอโรฟอร์ม จากนั้นนำไปหยดบนเซลล์ NaCl ตั้งทึ้งไว้จนคลอโรฟอร์มระเหยหมด จะได้แผ่นฟิล์มของพอลิเมอร์เคลือบอยู่บนเซลล์ แล้วจึงนำไปวิเคราะห์ ผลการวิเคราะห์แสดงเป็นสเปกตรัมของการพัลซ์ต่อระหว่าง % transmission กับ wave number ( $\text{cm}^{-1}$ ) รูป 3.8-3.10 และ IR สเปกตรัมของ poly(L-lactide) poly( $\epsilon$ -caprolactone) และ poly glycolide ตามลำดับ เปรียบเทียบกับ IR สเปกตรัมของ P(LL-co-CL) และ P(LL-co-CL-co-G) ดังแสดงในรูป 3.11-3.12 และคำแนะนำของพิคส่วนใหญ่แสดงในตาราง 3.4



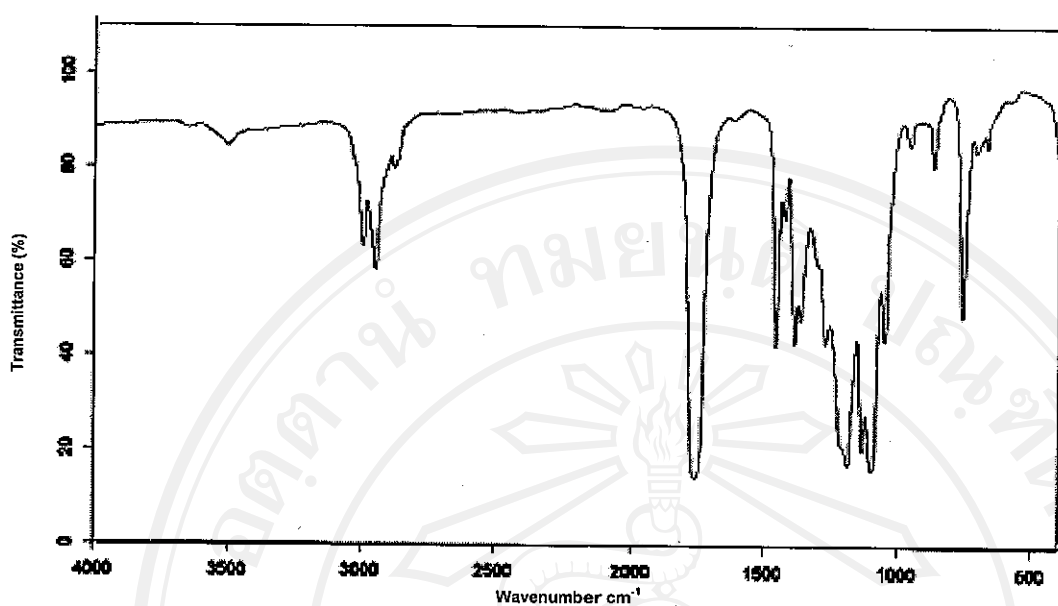
รูป 3.8 IR สเปกตรัม ของ poly (L-lactide), PLL [45]



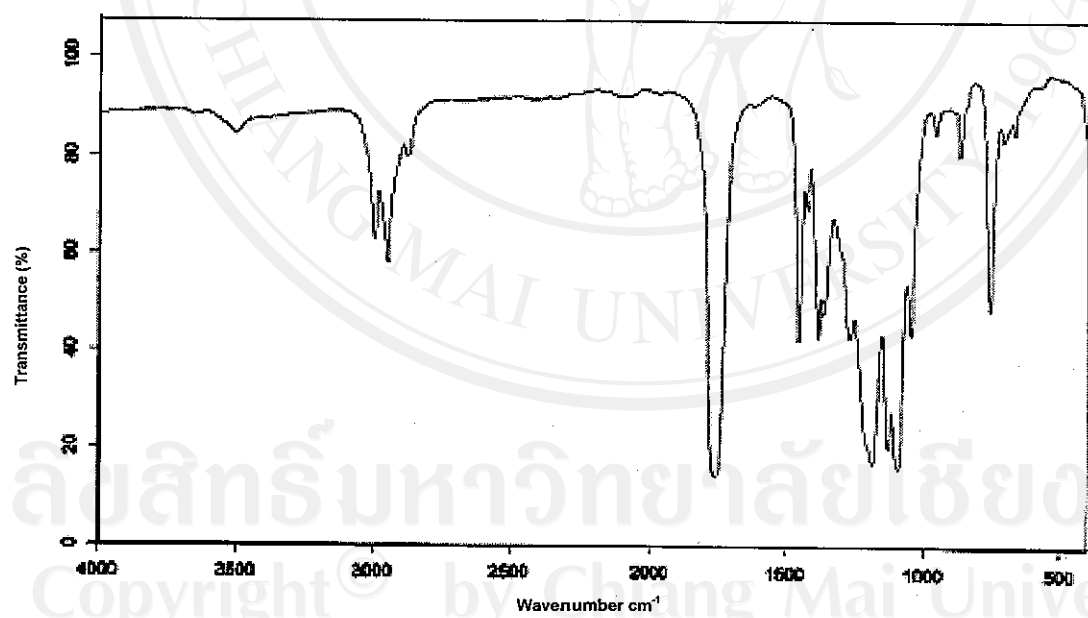
รูป 3.9 IR สเปกตรัม ของ poly ( $\epsilon$ -caprolactone), PCL [46]



รูป 3.10 IR สเปกตรัม ของ polyglycolide , PG [47]



รูป 3.11 IR สเปกตรัม ของ P(LL-co-CL) ที่สังเคราะห์ได้



รูป 3.12 IR สเปกตรัม ของ P(LL-co-CL-co-G) ที่สังเคราะห์ได้

ตาราง 3.4 ดำเนินการต่อสืบเนื่องจากในส่วนที่ 3.8-3.12

Vibration Assignment	Wave number ( $\text{cm}^{-1}$ )			
	PLL	PCL	PG	P(LL- $\alpha$ -CL-G)
O-H stretching in OH and/or COOH	3690-3400 (W)	3690-3400 (W)	3600-3300 (W)	3700-3400 (W)
OH stretching in $\text{CH}_3$ , $\text{CH}_2$ , $\text{CH}_1$	3000-2950 (M)	2936.2860 (S)	2980 (M)	3000,2980 (M)
C=O stretching	1750 (S)	1723 (S)	1745 (S)	1750 (S)
CH bending in $\text{CH}_3$ , $\text{CH}_2$ , $\text{CH}_1$	1450-1380 (S)	1470-1400 (M)	1450-1400 (M)	1450-1380 (S)
C-O stretching in acyl-oxygen	1280 (S)	1250-1280 (S)	1250 (W)	1200 (S)
C-O stretching in alkyl-oxygen	1090 (S)	1060 (M)	1082 (W)	1090 (S)
$\text{CH}_2$ bending (rocking)	- 720 (M)	- (M)	- (M)	750 (M)

W = Week M = Medium S = Strong

จาก IR สเปกตรัม ของ PLL, PCL และ PG จะเห็นว่าพีคส่วนใหญ่มีตำแหน่งสอดคล้องกัน ซึ่งอาจเป็นเพราะพอลิเมอร์ทั้งสามมีโครงสร้างทางเคมีที่คล้ายกัน เมื่อเปรียบเทียบข้อมูลในตาราง 3.5 พบว่า มีเพียงลักษณะของพีคบางตำแหน่งเท่านั้นที่มีความเข้มต่างกัน เช่น ที่เลขคลื่นช่วง 1450-1400 cm<sup>-1</sup> เป็นช่วงการสั่นของโมเลกุลชนิด CH bending ใน CH, CH<sub>2</sub>, CH<sub>3</sub> และที่เลขคลื่นช่วง 720-750 cm<sup>-1</sup> เป็นช่วงการสั่นของโมเลกุล CH<sub>2</sub> bending (rocking) มีเพียง PCL เท่านั้นที่เกิดพีคในตำแหน่งนี้เนื่องจาก PCL มี -CH<sub>2</sub>- เป็นจำนวนมาก และเมื่อเปรียบเทียบ IR สเปกตรัม ของ P(LL-co-CL) กับ P(LL-co-CL-co-G) ที่สังเคราะห์ได้ ปรากฏว่าทั้งตำแหน่งและลักษณะของพีคส่วนใหญ่ คล้ายกันเนื่องจากพอลิเมอร์ทั้งสองมีอัตราส่วน โอดิ โนลูของมอนомнอร์หลักที่ใช้ในการสังเคราะห์ใกล้เคียงกัน ในส่วนที่แตกต่างกันคือ เทอร์พอลิเมอร์มี glycolide เข้ามาเกี่ยวข้องด้วย แต่ก็มีเพียง 10 % เท่านั้น จึงไม่มีอิทธิพลที่จะทำให้ IR สเปกตรัมแตกต่างกันมากนัก และโดยการเปรียบเทียบกับ IR สเปกตรัมของโอดิโนลูพอลิเมอร์ทั้งสามชนิดที่คล้ายกันมากแล้วข้างต้น จะเห็นได้ว่า ทั้งตำแหน่งและลักษณะของพีคต่างๆ คล้ายกัน แต่เทคนิคนี้ไม่สามารถบอกอัตราส่วนและโครงสร้างย่อยที่แตกต่างกันของพอลิเมอร์ได้ ข้อมูลดังกล่าวจะสามารถหาได้จาก NMR สเปกตรัม ซึ่งจะกล่าวในหัวข้อต่อไป

### 3.5.2 นิวเคลียร์แมgnนิติกเรโซนэнซ์ สเปกโกรสโคปี

(Nuclear Magnetic Resonance Spectroscopy, NMR)

นิวเคลียร์แมgnนิติกเรโซนэнซ์ สเปกโกรสโคปี เป็นเทคนิคที่ใช้ศึกษาเกี่ยวกับสุตรโครงสร้างของสารประกอบ ทั้งที่เป็นสารอินทรีย์ สารอนินทรีย์ หรือพอลิเมอร์ ถ้าสารประกอบเหล่านี้มีธาตุบางชนิดที่มีสมบัติทางแม่เหล็ก เช่น <sup>1</sup>H, <sup>13</sup>C และ <sup>19</sup>F นิวเคลียสของธาตุเหล่านี้จะมี spin quantum numer (I) =  $\frac{1}{2}$  จึงเกิดภาวะspin ได้สองชนิด (จากการคำนวณหาภาวะspin ที่มีได้ (allow spin state) =  $2I+1$ ) คือ  $+\frac{1}{2}$  และ  $-\frac{1}{2}$  ซึ่งหมายถึง ภาวะที่นิวเคลียสspin บนหนานและต้านกันทิศทางของสนามแม่เหล็ก ตามลำดับ เมื่อนำสารประกอบที่มีธาตุเหล่านี้ไปวางไว้ในสนามแม่เหล็กที่มีความเข้มสูง นิวเคลียสจะspin บนหนานกับทิศทางของสนามแม่เหล็กเนื่องจากเป็นสภาวะที่มีพลังงานต่ำกว่า และเมื่อให้พลังงานจากคลื่นวิทยุเข้าไป นิวเคลียสจะสามารถดูดกลืนคลื่นพลังงานจากคลื่นวิทยุที่มีความถี่เท่ามาตรฐานได้ส่งผลให้เกิดการspin ต้านกันทิศของสนามแม่เหล็ก ซึ่งเป็นภาวะspin ที่มีพลังงานสูงกว่าได้ กระบวนการดังกล่าวทำให้เกิดสัญญาณเรโซนันซ์ขึ้นที่ความถี่ต่างกัน ขึ้นกับชนิดของธาตุและสิ่งแวดล้อมของธาตุนั้นๆ และแสดงออกนาในรูปของ NMR สเปกตรัม

[43-44, 48] ซึ่งเป็นการพิสูจน์ว่าความเข้มของสสารแม่เหล็กกับความเข้มของสัญญาณเมื่อเทียบกับ TMS ซึ่งในบทนี้จะกล่าวถึงเทคนิค NMR 2 ชนิดที่เกี่ยวข้องกับงานวิจัยดังนี้

(1) โปรตอน-เอ็นเอ็มอาร์ สเปกโตรสโคปี ( $^1\text{H}$ -NMR spectroscopy)

เทคนิคนี้จะให้ข้อมูลเกี่ยวกับอะตอมไฮโดรเจน (โปรตอน) ชนิดต่าง ๆ ที่อยู่ในโมเลกุลของสาร โปรตอนที่มีสิ่งแวดล้อมต่างกันจะปรากฏพิคในスペกตรัมที่มีตำแหน่งต่างกัน เนื่องจากมีสิ่งแวดล้อมที่แตกต่างกัน จะทำให้ความหนาแน่นของอิเล็กตรอนของโปรตอนนั้นๆ แตกต่างกัน ซึ่งมีผลต่อการบดบังสสารแม่เหล็ก (shielding) ซึ่งทำให้เกิดเรโซแนนซ์ที่ตำแหน่งแตกต่างกัน ปกติตำแหน่งของพิคในスペกตรัมจะกำหนดเป็นค่าที่เรียกว่า chemical shift ( $\delta$ ) ซึ่งเป็นค่าที่เปรียบเทียบกับของ tetramethylsilane ( $\text{CH}_3)_4\text{Si}$  หรือ TMS ซึ่งนิยมใช้เป็นสารมาตรฐาน (internal standard) โดยสารดังกล่าวจะมีเรโซแนนซ์เกิดที่ตำแหน่ง  $\delta = 0$  เพราะ Si เป็น electropositive โปรตอนจึงถูกบดบังสูงสุด แต่เมื่อโปรตอนในสารประกอบถูกบดบังน้อยกว่าที่จะปรากฏพิคที่  $\delta$  สูงขึ้น ดังนั้นตำแหน่งของโปรตอนจึงสามารถบอกได้ถึงกลุ่มฟังก์ชันที่มีโปรตอน เช่น  $-\text{CH}_3$ ,  $-\text{CH}_2$ ,  $-\text{CH}-$  เป็นต้น ซึ่ง  $^1\text{H-NMR}$  สเปกตรัมจะอยู่ในช่วง 0-10 ppm นอกจากนี้ พิคของโปรตอนยังสามารถเกิดการแยก (spin-spin splitting) การแยกของพิคทำให้ปรากฏสเปกตรัมซึ่งช้อนชัน ซึ่งเกิดจากสปิน (spin) ของนิวเคลียส อย่างเชิงเกิดอันตรรศวิภาค แต่การแยกทำให้เป็นประizable ย่างมากในการระบุจำนวนโปรตอนที่อยู่ช้าและเร็ว โปรตอนนั้นๆ และสามารถวิเคราะห์โครงสร้างได้ชัดเจนยิ่งขึ้น นอกจากนี้พื้นที่ใต้พิคที่เกิดขึ้น (integration) ใน  $^1\text{H-NMR}$  สเปกตรัม ยังบอกให้ทราบว่ามีโปรตอนจำนวนเท่าใดที่ทำให้เกิดพิค ตำแหน่ง chemical shift นั้นๆ ทั้งนี้ เพราะพื้นที่ใต้พิคจะเป็นสัดส่วนโดยตรงกับจำนวนโปรตอนที่ทำให้เกิดพิคนั้นๆ [44] ในงานวิจัยนี้จะใช้  $^1\text{H-NMR}$  ในการวิเคราะห์หาอัตราส่วน โมลของอนโนเมอร์ จากพื้นที่ใต้พิค ตำแหน่งของโปรตอนที่เป็นลักษณะเฉพาะของอนโนเมอร์ทั้งสาม ดังจะกล่าวต่อไป

(2) คาร์บอน-เอ็นเอ็มอาร์ สเปกโตรสโคปี ( $^{13}\text{C}$ -NMR spectroscopy)

เทคนิคนี้จะให้ข้อมูลเกี่ยวกับอะตอมการบอนในโมเลกุลของสาร เช่นเดียวกับ  $^1\text{H-NMR}$  ต่างกันที่พิคในสเปกตรัมปรากฏตำแหน่ง  $^{13}\text{C-NMR}$  สเปกตรัมจะอยู่ในช่วง 0-250 ppm [44, 48-49] ในงานวิจัยนี้ใช้  $^{13}\text{C-NMR}$  ศึกษาถึงลำดับการเชื่อมต่อของโมเลกุลอนโนเมอร์ในพอลิเมอร์

ในงานวิจัยนี้ใช้เทคนิค NMR สเปกโตรสโคปีเพื่อใช้หาลักษณะเฉพาะของพอลิเมอร์โดยที่มีการเตรียมสารตัวอย่างในรูปของสารละลายที่มี  $\text{CDCl}_3$  เป็นตัวทำละลาย ในการวิเคราะห์ด้วย  $^1\text{H-NMR}$  ทำโดยใช้เครื่อง Bruker ที่มีความถี่ 400 MHz และ  $^{13}\text{C-NMR}$  สเปกโตรสโคปี ทำโดยใช้เครื่อง Bruker ที่มีความถี่ 100 MHz  $^1\text{H-NMR}$  แสดงค้างรูป 3.13-3.14 และ ตาราง 3.5-3.6 ผลการวิเคราะห์ด้วย  $^{13}\text{C-NMR}$  แสดงค้างรูป 3.15-3.18 และ ตาราง 3.7-3.10

การคำนวณหาอัตราส่วนโมลเปอร์เซ็นต์ของอนุเมอร์ในโคและเทอร์พอดิเมอร์

จากสเปกตรัมที่ได้ในรูป 3.13 และ 3.14 สามารถใช้วิเคราะห์หาอัตราส่วนโมลของอนุมัวร์ในพอดิเมอร์ทึ้งสอง ได้ โดยเบริชเบเทียนพีน์ที่ได้พิค ซึ่งสอดคล้องกับ relative peak intensity ของโปรดอนที่เป็นลักษณะเฉพาะของอนุมัวร์ทึ้งสาม ได้ดังนี้

การคำนวณหาอัตราส่วน โนลเเพอร์เซ็นต์ของ LL, CL และ G ใน P(LL-co-CL) และ P(LL-co-CL-co-G) ที่สังเคราะห์ได้ สามารถคำนวณได้จากอัตราส่วนของ relative peak intensity สำหรับ metine proton (b) ใน LL ε-methylene proton (c) ใน CL และ methylene proton (h) ใน G ผลการคำนวณแสดงได้ดังนี้

(ก) คำนวณหาอัตราส่วน ไมล์ปอร์เต้นต์ของ โโคพอดิเมอร์

Relative peak intensity of Methine proton (2H/LL unit)	:	Relative peak intensity of $\epsilon$ -Methylene proton (2H/CL unit)
<u>100</u>	:	<u>32.6</u>
2	:	2
50	:	16.3

$$\text{คั่งน้ำมันอัตราส่วน ไมล์เปอร์เซ็นต์ของ โคลพอลิเมอร์} = \frac{50}{16.3} = 3.06$$

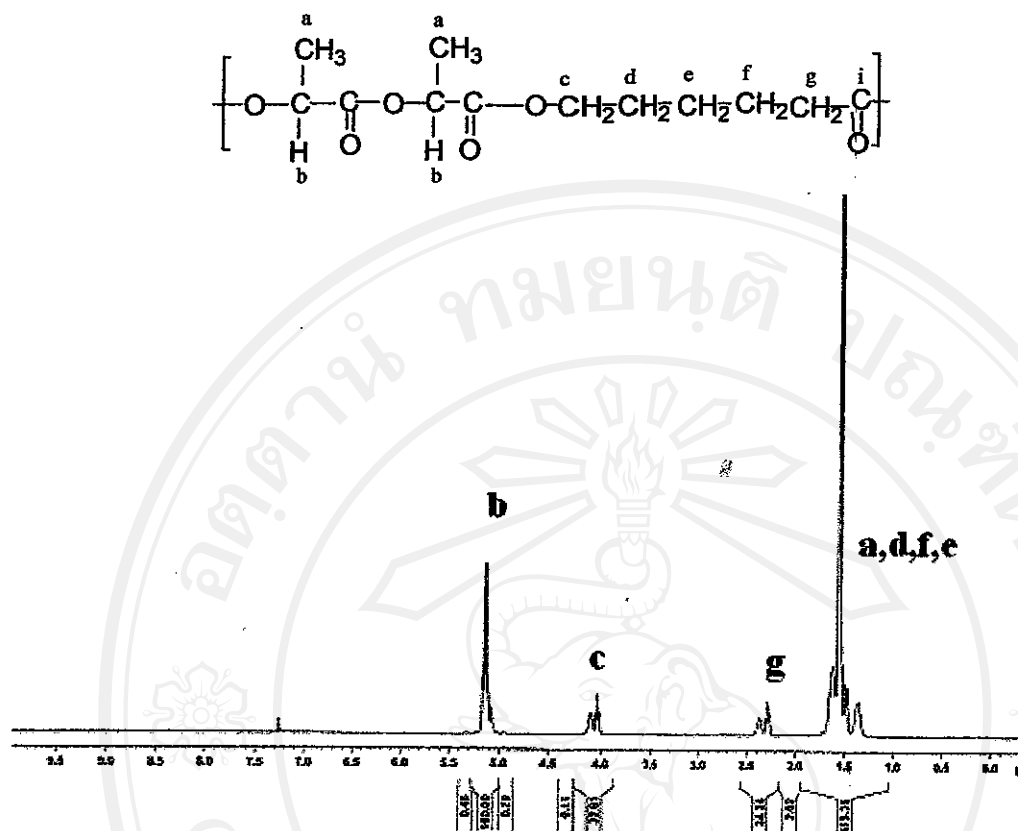
## (v) คำนวณหาอัตราส่วน โนลเปอร์เซ็นต์ของเทอร์พอลิเมอร์

Relative peak intensity of Methine proton (2H/LL unit)	Relative peak intensity of $\delta$ -Methylene proton (2H/CL unit)	Relative peak intensity of Methylene proton (4H/G unit)
<u>100.0</u> 2	<u>22.4</u> 2	<u>29.0</u> 4
50.0	11.2	7.25

ดังนี้ อัตราส่วน โนลเปอร์เซ็นต์ของเทอร์พอลิเมอร์ เป็นดังด่อไปนี้

$$\text{LL : CL : G} = 50.0 : 11.2 : 7.25 \\ 73 : 16 : 11 \quad \text{mol \%}$$

อัตราส่วน โนลของอนโนเมอร์เริ่มต้นและสุดท้ายของโคลพอลิเมอร์ มีค่าใกล้เคียงกัน ส่วนในกรีดของเทอร์พอลิเมอร์นี้ LL และ G มีมากกว่า ในขณะที่ CL มีน้อยกว่า อัตราส่วน โนลเริ่มต้นซึ่งอาจเป็นเพราะความว่องไวของการเข้าทำปฏิกิริยาที่แตกต่างกัน ซึ่ง LL มีความว่องไวมากกว่า CL [ 50-52]

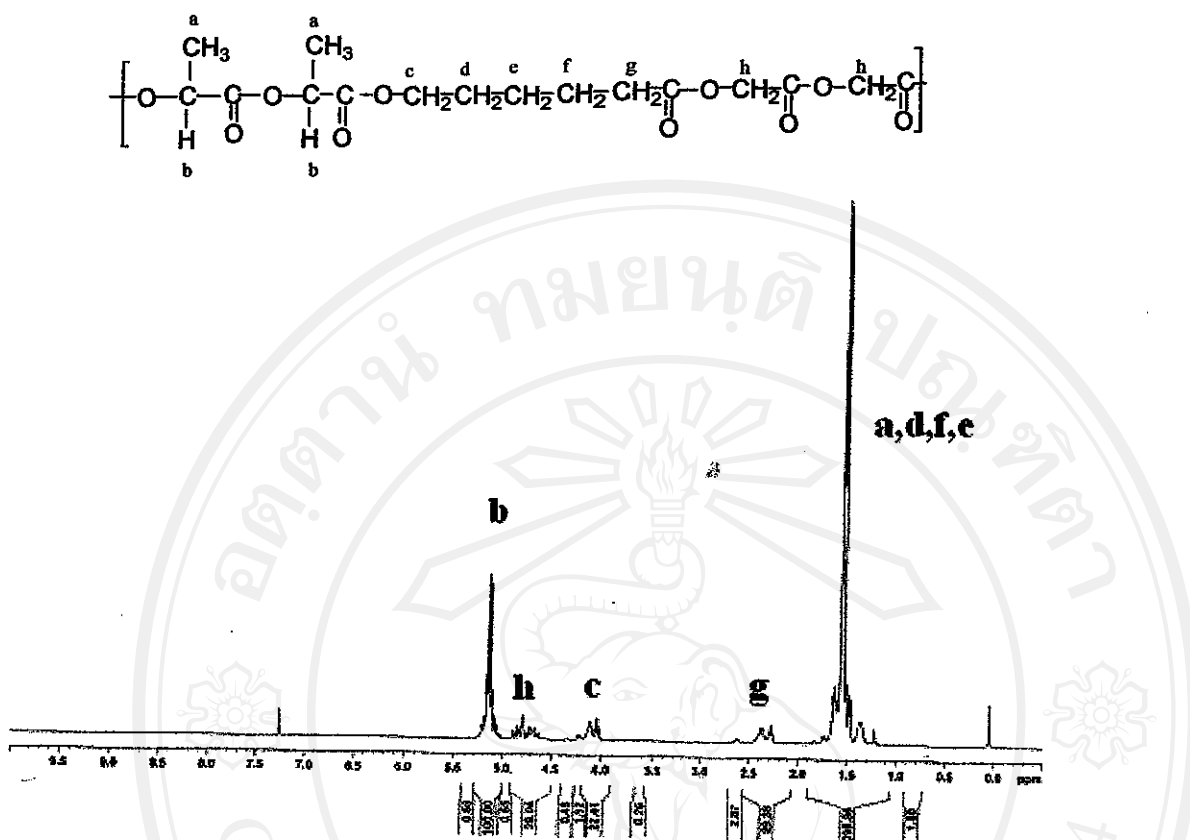


รูป 3.13 สเปกตรัม 400 MHz  $^1\text{H}$ -NMR ของ P(LL-co-CL)

ตาราง 3.5 ตำแหน่ง โปรตอนที่ให้พีคในสเปกตรัม  $^1\text{H}$ -NMR ของ P(LL-co-CL)

ตำแหน่ง โปรตอน	Chemical Shift Range, $\delta$ (ppm)	Relative peak intensity
b	5.4-5.0	100.0
c	4.2-3.9	32.6
g	2.5-2.2	34.2
a, d, f, e	1.8-1.2	415.4

Copyright © by Chiang Mai University  
All rights reserved



รูป 3.14 สเปกตรัม 400 MHz  $^1\text{H}$ -NMR ของ P(LL-co-CL-G)

ตาราง 3.6 ตำแหน่ง โปรตอนที่ให้พีคในสเปกตรัม  $^1\text{H}$ -NMR ของ P(LL-co-CL-G)

ตำแหน่ง โปรตอน	Chemical Shift Range, $\delta$ (ppm)	Relative peak intensity
b	5.4-5.0	100.0
h	5.0-4.5	29.0
c	4.2-3.9	22.4
g	2.5-2.2	29.4
a, d, f, e	1.8-1.2	396.4

All rights reserved

เนื่องจากอัตราการบอนในหมู่คาร์บอนิล มีความไวต่อสภาพแวดล้อมในพอลิเมอร์ ดังนี้จึงถูกใช้เป็นข้อมูลกำหนดลำดับของอนอมอร์ใน P(LL-co-CL) และ P(LL-co-CL-co-G) ดังรูป 3.15-3.16 แสดงตำแหน่งการบอนในหมู่คาร์บอนิล c, i และ k สำหรับอนอมอร์ทั้งสามมีค่า chemical shift อยู่ระหว่าง 165-175 ppm เพื่อให้เห็นชัดเจนยิ่งขึ้น รูป 3.17-3.18 เป็นภาพขยายในบริเวณนี้

จากการเปรียบเทียบตำแหน่งスペกตรัมในรูป 3.17-3.18 กับข้อมูลตำแหน่งスペกตรัมจากผลงานของ E. Pamula, et al [53-58] จะสามารถกำหนดพีกหลักที่เกิดได้ เช่น พีกที่ 173.5 ppm กำหนดเป็นพีกจาก CL ที่ต่อกับ CL เท่านั้น (CCC) พีกที่ 169.6 ppm กำหนดเป็นพีกจาก LL ที่ต่อ กับ LL เท่านั้น (LLL) และ พีกที่ 166.5 ppm กำหนดเป็นจาก G ที่ต่อ กับ G เท่านั้น (GGG) สำหรับพีกอื่นๆ ซึ่งที่เกิดเป็นพีกย่อยระหว่างพีกหลักเหล่านี้ เป็นผลมาจากการบอนในอนอมอร์ทั้งสามที่เปลี่ยนไป ยกตัวอย่างเช่น ตำแหน่งพีกที่ 170.03-170.30 ppm เป็นพีกที่เกิดจากคาร์บอนในหมู่คาร์บอนิลของ LL แต่มี CL เป็นสภาพแวดล้อม (ตัวไกลีคียง) ซึ่งกำหนดเป็น LLC หรือ CLL ในกรณีพีกอื่นๆ ก็สามารถกำหนดโดยใช้หลักการเดียวกันนี้ ตาราง 3.9-3.10 แสดง การกำหนดตำแหน่งพีกสำหรับของอนอมอร์ที่มีสิ่งแวดล้อมต่างกัน [53-58] และพื้นที่ได้พิชิต สามารถบอกถึงปริมาณอนอมอร์ในสภาพแวดล้อมนั้นๆ และสามารถใช้คำนวณความยาวลำดับต่อเนื่อง หรือความยาวของบล็อก LL, CL และ G โดยเฉลี่ยจากสมการดังข้างล่าง [59] และผลการคำนวณแสดงในตาราง 3.11

$$I_{LL} = \frac{1}{2} \times \frac{LLL + LLX + XLL + XLX}{XLX + \frac{1}{2}(LLX + XLL)} ; X = G \text{ and } C$$

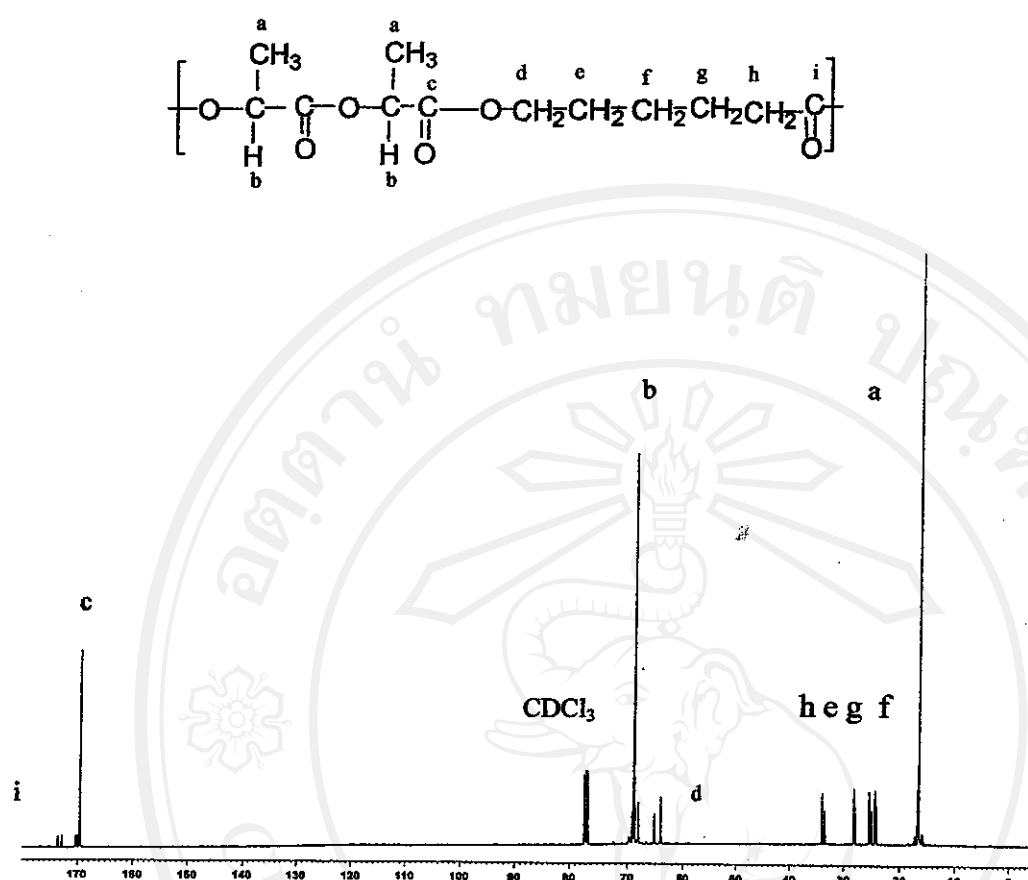
$$I_{CL} = \frac{CCC + CCY + YCC + YCY}{YCY + \frac{1}{2}(CCY + YCC)} ; Y = L \text{ and } G$$

$$I_{GG} = \frac{1}{2} \times \frac{GGG + GGZ + ZGG + ZGZ}{ZGZ + \frac{1}{2}(GGZ + ZGG)} ; Z = L \text{ and } C$$

ผลการคำนวณความยาวลำดับต่อเนื่องเฉลี่ยของอนุเมอร์ ดังแสดงในตาราง 3.11 สามารถสรุปได้ว่า  $P(LL\text{-co-CL})$  และ  $P(LL\text{-co-CL-co-G})$  ที่สังเคราะห์ได้เป็นแบบสุ่มโดยเฉพาะโดยพอลิเมอร์ เพราะ  $LL : CL \approx 6 : 2$  ซึ่งสอดคล้องกับ  $75 : 25$  แต่สำหรับเทอร์โพลิเมอร์และ  $LL : CL : G \approx 4 : 1 : 1$  และแสดงว่ามีลักษณะแบบสุ่มแต่ไม่สมบูรณ์อาจเกิดจากความว่องไวของปฏิกริยาที่แตกต่างกันของอนุเมอร์ดังที่กล่าวแล้ว จากข้อมูลดังกล่าวยังพนอีกว่า พอลิเมอร์ที่ถูกสังเคราะห์ขึ้นนี้ไม่มีการเกิดปฏิกริยาทรานส์เทอร์พิโลชัน (ไม่พบ การเชื่อมต่อแบบ CLC)



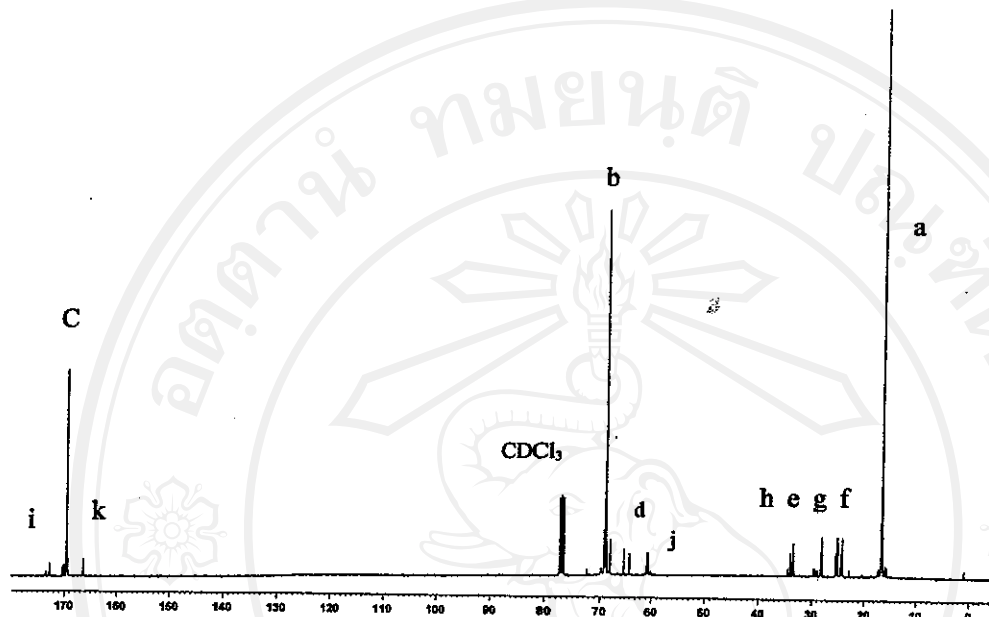
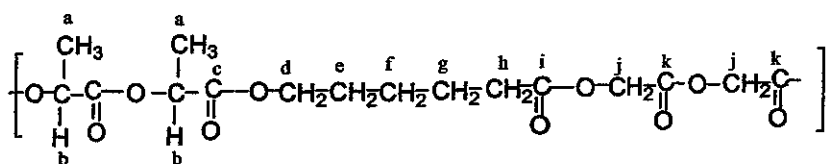
ลิขสิทธิ์มหาวิทยาลัยเชียงใหม่  
Copyright<sup>©</sup> by Chiang Mai University  
All rights reserved



รูป 3.15 สเปกตรัม  $100 \text{ MHz} ^{13}\text{C-NMR}$  ของ P(LL-co-CL)

ตาราง 3.7 ตำแหน่งพีกในสเปกตรัม  $^{13}\text{C-NMR}$  ของ P(LL-co-CL)

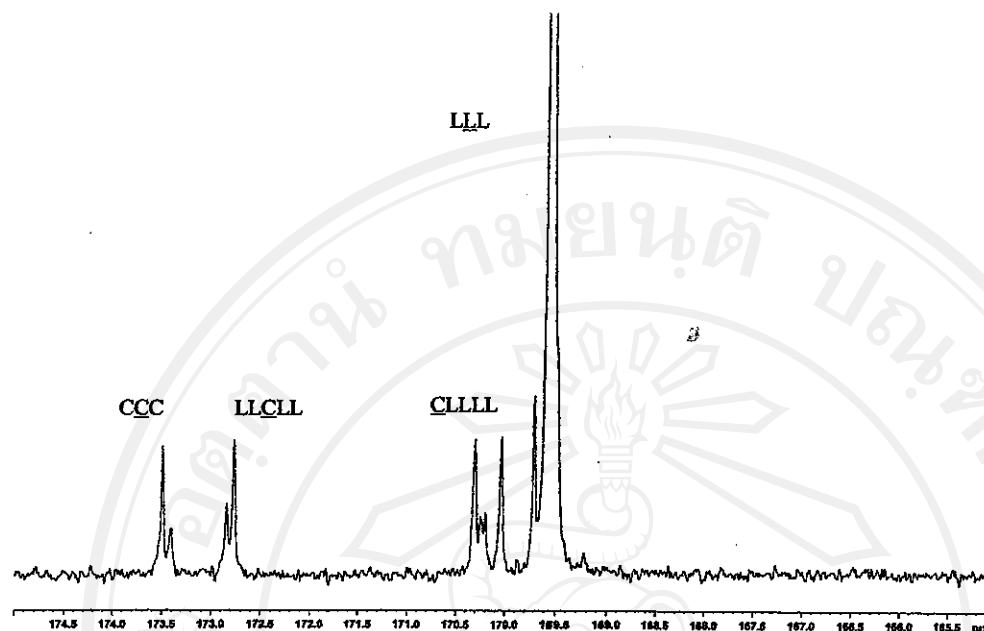
ตำแหน่งของคาร์บอน	Chemical Shift, $\delta$ (ppm)
i	172.73
c	169.55
b	68.96
d	65.40
h	33.56
e	28.09
g	25.13
f	24.24
a	16.59
$\text{CDCl}_3$	77.32-76.68



รูป 3.16 สเปกตรัม  $100\text{ MHz}^{13}\text{C-NMR}$  ของ P(LL-co-CL-co-G)

ตาราง 3.8 ตำแหน่งพีกในสเปกตรัม  $^{13}\text{C-NMR}$  ของ P(LL-co-CL-co-G)

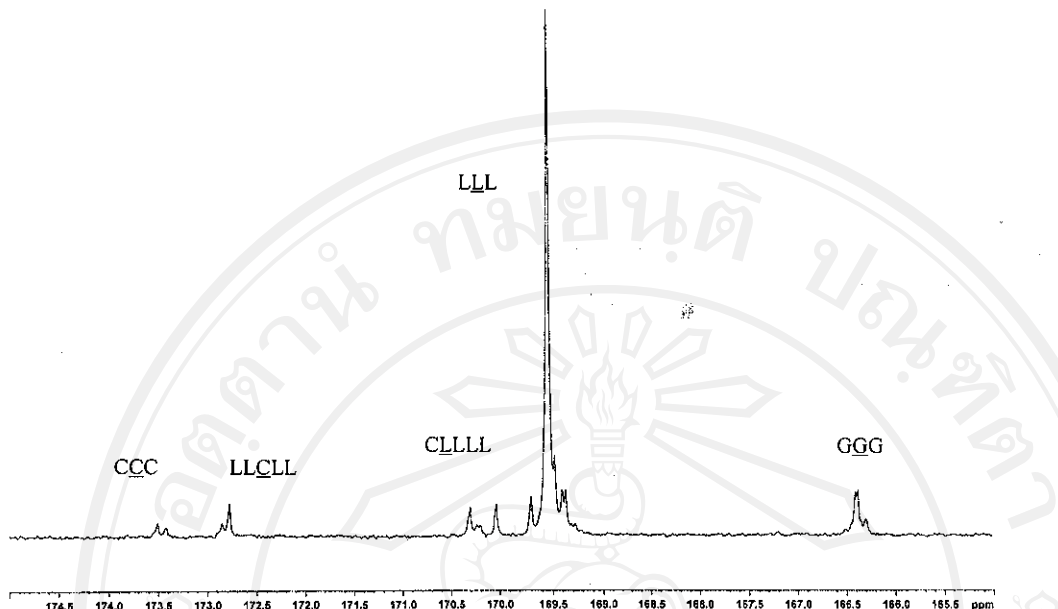
ตำแหน่งของคาร์บอน	Chemical Shift, $\delta$ (ppm)
i	172.77
c	169.37
k	166.38
b	68.78
d	65.24
j	60.60
h	33.40
e	28.08
g	25.12
f	24.23
a	16.50
$\text{CDCl}_3$	77.32-76.68



รูป 3.17 สเปกตรัม 100 MHz  $^{13}\text{C}$ -NMR ที่ขยายเพื่อแสดงตำแหน่งหมู่คาร์บอนิลของ P(LL-co-CL)

ตาราง 3.9 ตำแหน่งพีกในสเปกตรัม  $^{13}\text{C}$ -NMR ที่ขยายเพื่อแสดงตำแหน่งหมู่คาร์บอนิลของ P(LL-co-CL)

ตำแหน่งcarbon	Sequence	Chemical Shift, $\delta$ (ppm)	Relative peak intensity
1	CCC	173.49	4.97
2	LLCC	173.40	2.38
3	LCC+CCLL	172.85	4.05
4	LLCLL	172.77	6.43
5	LLL <sub>1</sub> C+CLLC	170.30	7.49
6	CLLC	170.25	5.85
7	CLLL	170.03	7.45
8	LLL <sub>2</sub> C	169.70	7.65
9	LLL	169.55	100



รูป 3.18 สเปกตรัม 100 MHz <sup>13</sup>C-NMR ที่ขยายเพื่อแสดงตำแหน่งหมู่คาร์บอนิลของ P(LL-co-CL-co-G)

ตาราง 3.10 ตำแหน่งพีกในสเปกตรัม <sup>13</sup>C-NMR ที่ขยายเพื่อแสดงตำแหน่งหมู่คาร์บอนิลของ P(LL-co-CL-co-G)

ตำแหน่งcarbon	Sequence	Chemical Shift, $\delta$ (ppm)	Relative peak intensity
1	CCC	173.51	4.13
2	LL <u>C</u> CC	173.40	3.36
3	LCC+C <u>L</u> LL	172.85	4.56
4	LL <u>C</u> LL	172.77	7.50
5	LLLL <u>C</u> +C <u>L</u> LC	170.30	9.48
6	C <u>L</u> LC	170.25	6.69
7	C <u>L</u> LLL	170.03	10
8	LLL <u>G</u>	169.70	9.80
9	LLL <u>L</u>	169.48	159.94
10	LLL <u>G</u>	169.40	30.41
11	GGG	166.38	22.29

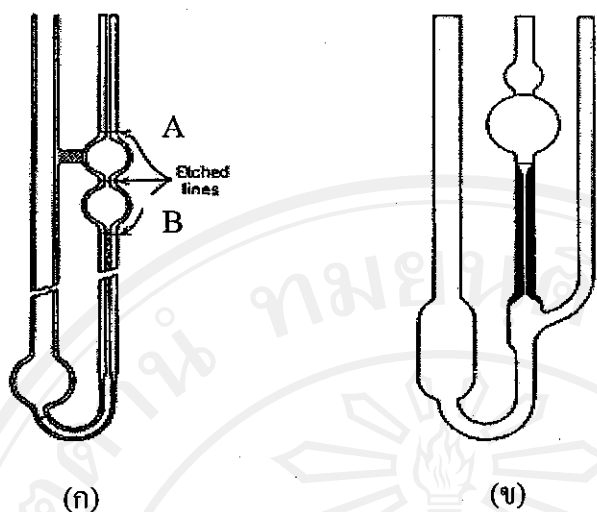
ตาราง 3.11 ความยาวลำดับต่อเนื่องเฉลี่ยของอนองเมอร์ในโโคและเทอร์โพลิเมอร์

Polymer Cold	Sequence Length		
	$l_{LL}$	$l_c$	$L_{GG}$
P(LL-co-CL)	6.18(=6)	1.85(=2)	-
P(LL-co-CL-co-G)	4.00(=4)	1.26(=1)	0.85(=1)

### 3.5.3 การหาความหนืดของสารละลายเจือจาง (Dilute Solution Viscometry)

ความหนืดของสารละลายพอลิเมอร์มีความสัมพันธ์กับขนาดโมเลกุล และสามารถนำมาใช้วิเคราะห์หน้าหนักโมเลกุล โดยเกี่ยวข้องกับการวัดปริมาณหรือการหาความสามารถของพอลิเมอร์ในการเพิ่มความหนืดของตัวทำละลายที่อุณหภูมิอุ่นเหมือนกันนี้ๆ โดยให้ข้อมูลที่มีความสัมพันธ์กับขนาดของพอลิเมอร์ในสารละลาย ซึ่งมีผลมาจากการรูปทรงสายโซ่ รูปร่างโมเลกุล ดีกรีพอลิเมอไรเซชันและอัตราการห่วงพอลิเมอร์และตัวทำละลาย [42,49] ในสารละลายเจือจางของพอลิเมอร์ ส่วนใหญ่มีลักษณะเป็นแบบ random coils ซึ่งเป็นอิสระต่อกัน เนื่องจากถูกล้อมรอบด้วยตัวทำละลายอย่างสมบูรณ์และเกิดแรงกระทำระหว่างพอลิเมอร์กับตัวทำละลาย ทำให้โมเลกุลที่ค่อนข้างใหญ่และมีรูปร่างไม่แน่นอน ขัดตัวเป็น colloidal dispersions ที่มีการกระจายตัวของโมเลกุลในทางที่การหน่วงไหลดของของเหลว ทำให้เกิดแรงเฉือน (shearing force) หรือความหนืดในของเหลว เพิ่มขึ้นเมื่อเทียบกับตัวทำละลายบริสุทธิ์ [60-61] โดยความหนืดของสารละลายพอลิเมอร์ขึ้นกับปัจจัยต่างๆ ได้แก่ ธรรมชาติของตัวทำละลาย ชนิดของพอลิเมอร์ น้ำหนักโมเลกุลของพอลิเมอร์ ความเข้มข้นของสารละลายและอุณหภูมิ เนื่องจากการเปลี่ยนแปลงความหนืดขึ้นอยู่กับน้ำหนักโมเลกุล เทคนิกนี้จึงสามารถใช้น้ำหนักโมเลกุลได้ซึ่งมีข้อดีคือ ทำง่าย รวดเร็วและไม่แพง แต่มีข้อเสียคือ น้ำหนักโมเลกุลที่ได้มีค่าโดยประมาณเท่านั้น [41-42]

เครื่องมือที่วัดค่าความความหนืดของสารละลาย เรียกว่า “วิสโคมิเตอร์” ซึ่งมีอยู่หลายชนิด ด้วยกัน แต่ที่นิยมมากที่สุดคือ ออสท์วัลเดอร์ (Ostwald viscometer) และ ยูบเบโลห์ด (ubbelohde viscometer) [13] ซึ่งมีลักษณะดังรูป 3.20



รูป 3.19 อุปกรณ์วัดความหนืด (viscometer) (ก) Ostwald และ (ข) Ubbelohde

วิสโคมิเตอร์ทั้งสองมีหลักการที่คล้ายคลึงกัน คือทำการวัดเวลาในการไหลของตัวทำละลาย( $t_0$ ) และสารละลายพอลิเมอร์( $t$ ) จากระดับ A ถึง B แต่จะแตกต่างตรงที่ ปริมาตรของของเหลวที่ใช้ในออสท์วัลเดอร์ วิสโคอมิเตอร์ จะใช้ปริมาตรเท่ากันทุกครั้ง ขณะที่ ยูเบล็อกซ์ วิสโคอมิเตอร์ ไม่จำเป็นต้องเท่ากัน [13-14] ในงานวิจัยนี้เลือกใช้วิสโคอมิเตอร์ชนิด ยูเบล็อกซ์ สำหรับวัดเวลาในการไหลของตัวทำละลายและสารละลายพอลิเมอร์และนำไปคำนวณหาความหนืด โดยการต่อวิสโคอมิเตอร์ดังกล่าวกับ Schott-Gerate AVs 300 Automatic Viscosity Measuring System โดยวิสโคอมิเตอร์จะยึดในแนวตั้งโดยที่ยึด (stand) และแขวนในอ่างควบคุมอุณหภูมิให้คงที่  $40 \pm 0.02$  องศาเซลเซียส

เตรียมสารละลายโดยและเทอร์พอลิเมอร์ในสารละลาย tetrahydrofuran ความเข้มข้น 0.2-1.0 g/25ml ในขวดวัดปริมาตร 25 ml หลังจากที่สารละลายหมด รินสารละลายทั้ง 25 ml ลงในวิสโคอมิเตอร์แล้วนำไปแขวนในอ่างควบคุมอุณหภูมิประมาณ 10 นาที ก่อนวัดอัตราการไหลของสารละลาย เพื่อให้อุณหภูมิของสารละลายเข้าสู่สมดุล โดยทำการวัดอัตราการไหลของสารละลายที่มีความเข้มข้นต่างๆไปทางสูง อัตราการไหลที่ได้นำไปคำนวณหาความหนืดชนิดต่างๆ แสดงในตาราง 3.9 ค่า [1] สัมพันธ์กับมวลโมเลกุลเฉลี่ยของพอลิเมอร์ตามสมการของ Mark-Houwink-Sakurada ดังนี้

$$[\eta] = K \overline{M_v}^a$$

เมื่อ K และ a คือค่าคงที่ขึ้นกับแรงกระทำระหว่างพอลิเมอร์และตัวทำละลาย

$$\overline{M_v}$$

คือ น้ำหนักโมเลกุลเฉลี่ยโดยความหนืด ซึ่งกำหนดดังนี้

$$\overline{M_v} = \left[ \frac{\sum_{i=1}^a N_i M_i^{1+a}}{\sum_{i=1}^a N_i M_i} \right] \frac{1}{a}$$

เมื่อ  $N_i$  คือ จำนวนพอลิเมอร์ใน聚集体ที่มีน้ำหนักโมเลกุลเท่ากับ  $M_i$   
และ  $a$  คือเลขยกกำลังในสมการ Mark-Houwink-Sakurada

ตาราง 3.12 ความหนืดชนิดต่างๆของสารละลายพอลิเมอร์

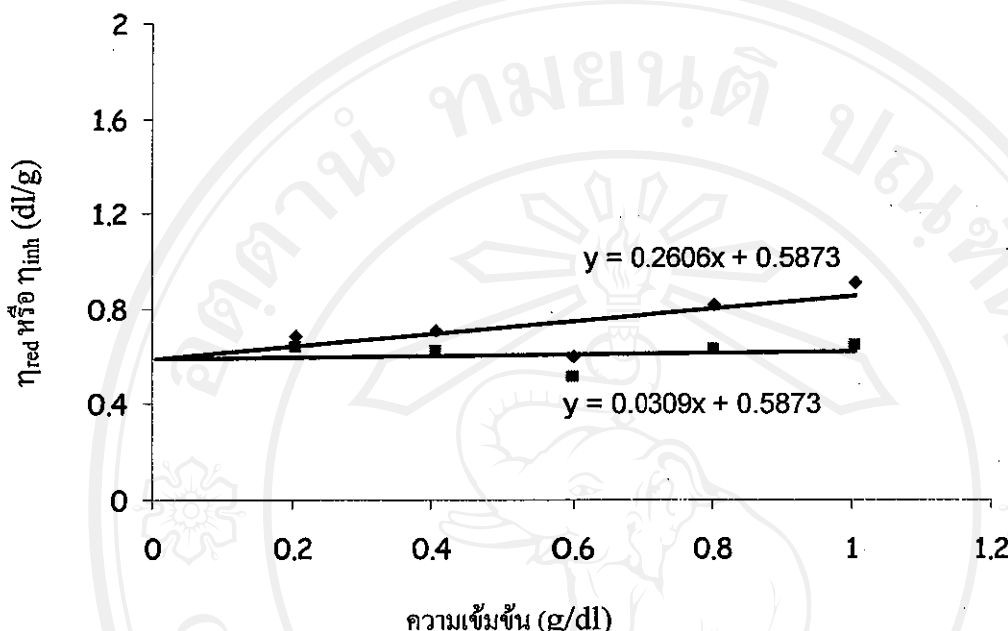
ความหนืด	ชื่อ IUPAC	สัญลักษณ์
Relative viscosity	Viscosity ratio	$\eta_r = \eta / \eta_0 \approx t/t_0$
Specific viscosity	-	$\eta_{sp} = \eta_r - 1 = (\eta - \eta_0) / \eta_0 \approx (t - t_0) / t_0$
Reduced viscosity	Viscosity number	$\eta_{red} = \eta_{sp} / c$
Inherent viscosity	Logarithmic viscosity number	$\eta_{inh} = (\ln \eta_r) / c$
Intrinsic viscosity	Limiting viscosity number	$[\eta] = (\eta_{sp} / c)_{c=0} = [(\ln \eta_r) / c]_{c=0}$

ค่า Intrinsic viscosity  $[\eta]$  ขึ้นกับตัวทำละลายที่ใช้ แต่ไม่แปรผันตามความเข้มข้น เนื่องจากเป็นค่าที่ได้จากการลากเส้นกราฟที่พล็อตระหว่าง  $(\eta_{sp} / c)$  หรือ  $(\ln \eta_r) / c$  กับ  $c$  ไปตัดที่แกนความเข้มข้นเป็นศูนย์ ( $c = 0$ ) ตามความสัมพันธ์ในสมการข้างล่างนี้ เมื่อ  $k'$  และ  $k''$  เป็นค่าคงที่

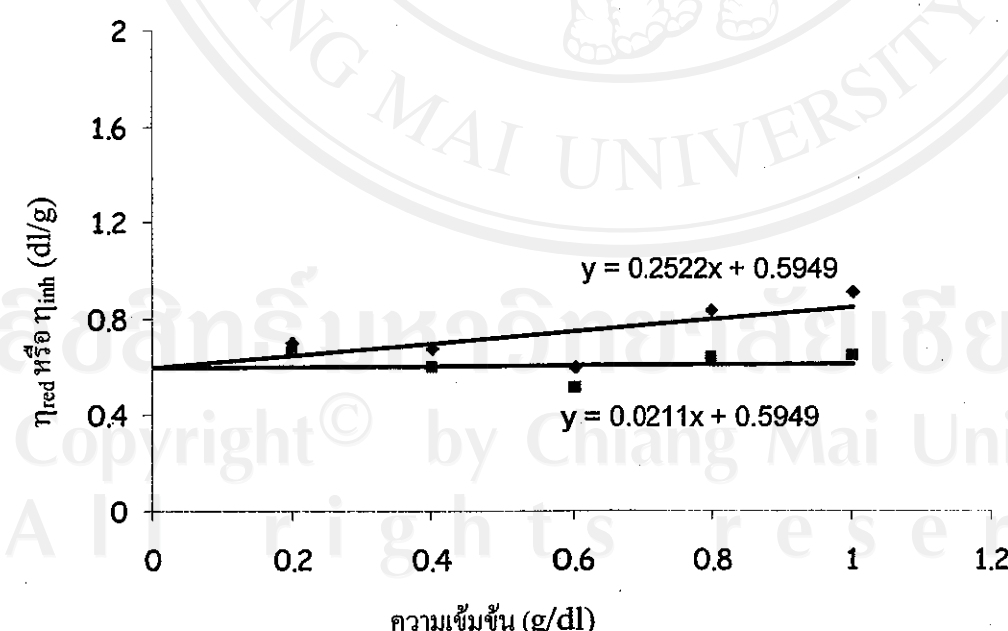
$$(\eta_{sp}/c) = [\eta] + k' + [\eta]^2 c$$

$$(\ln \eta_r/c) = [\eta] + k'' + [\eta]^2 c$$

ผลการวิเคราะห์ค่าความหนืดของสารละลายน้ำ P(LL-co-CL) และ P(LL-co-CL-co-G) แสดงดังในรูป 3.21 และ 3.22 พบว่า [η] ของ P(LL-co-CL) และ P(LL-co-CL-co-G) เท่ากับ 0.59 และ 0.59 ตามลำดับ



รูป 3.20 กราฟแสดงความสัมพันธ์ระหว่าง  $\eta_{red}$  หรือ  $\eta_{inh}$  กับความเข้มข้นของสารละลาย P(LL-co-CL) ในตัวทำละลาย tetrahydrofluran ที่อุณหภูมิ  $40^{\circ}\text{C}$



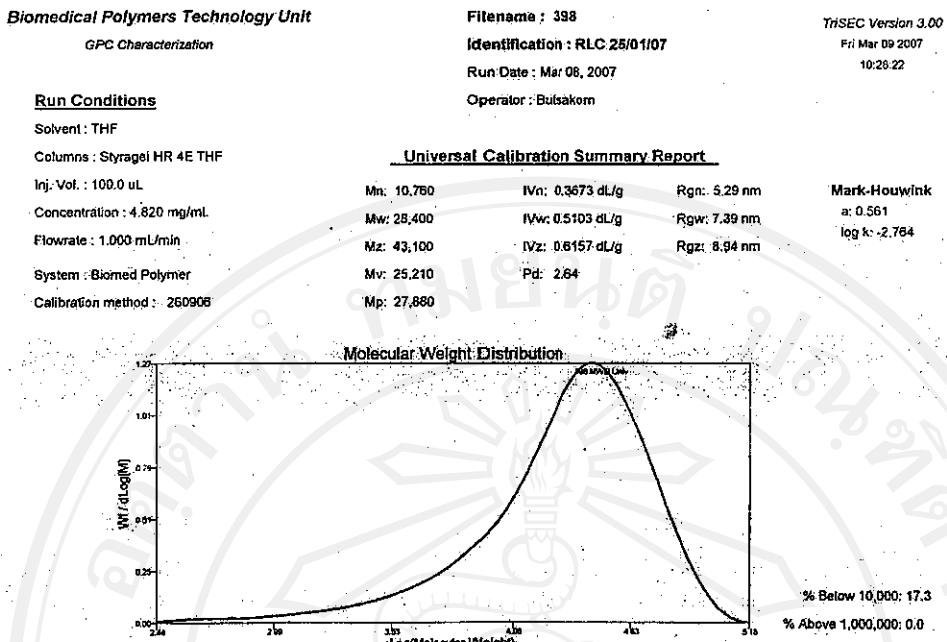
รูป 3.21 กราฟแสดงความสัมพันธ์ระหว่าง  $\eta_{red}$  หรือ  $\eta_{inh}$  กับความเข้มข้นของสารละลาย P(LL-co-CL-co-G) ในตัวทำละลาย tetrahydrofluran ที่อุณหภูมิ  $40^{\circ}\text{C}$

### 3.5.4 เจลเพอร์มิเอชันโคมาโทกราฟี (Gel Permeation Chromatography, GPC)

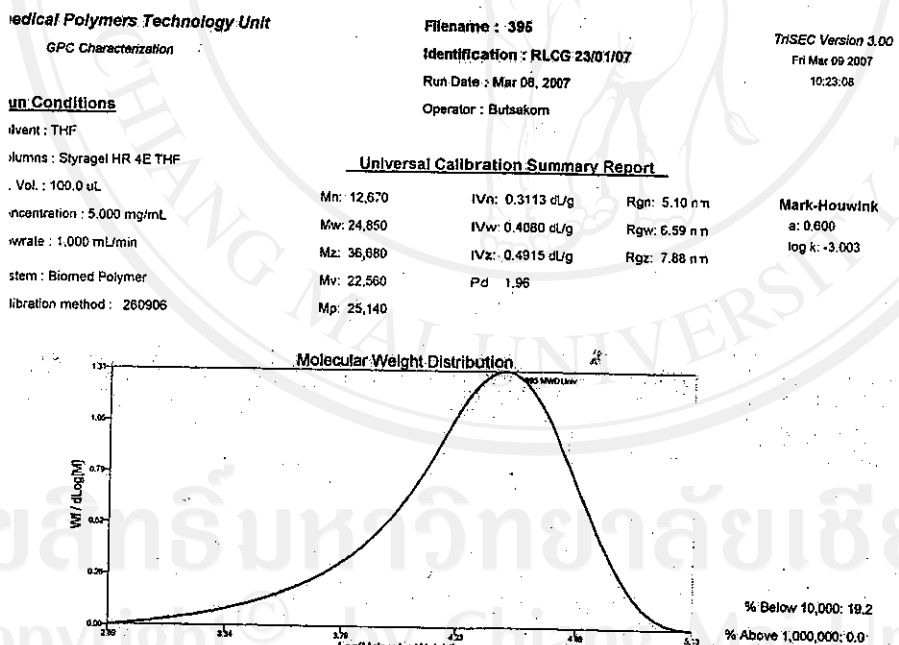
เจลเพอร์มิเอชันโคอมาโทกราฟีเป็นเทคนิคที่ใช้กันอย่างกว้างขวางเพื่อศึกษาขนาดหน้าแนกโมเลกุลเฉลี่ยและการกระจายของหน้าแนกโมเลกุลของพอลิเมอร์ หรืออาจเรียกอีกชื่อหนึ่งว่า size exclusion chromatography การวิเคราะห์ทำโดยการแยกโมเลกุลของพอลิเมอร์ที่มีขนาดแตกต่างกัน การแยกเกิดขึ้นในคอลัมน์โคอมาโทกราฟีที่บรรจุเม็ด (bead) ของของแข็งที่มีรูพรุนหรือเจล (gel) โดยทั่วไปมักใช้มีดพอลิสไตรีน ที่ผ่านการเชื่อมโยงระหว่างโมเลกุล และมีรูพรุน หรือแก้วที่เป็นรูพรุน

ตัวอย่างของสารละลายพอลิเมอร์เจือจางจะถูกใส่ลงไปในคอลัมน์ และจะด้วยกระบวนการตัวทำละลาย โมเลกุลพอลิเมอร์จะผ่านเม็ดรูพรุนและสามารถแพร่เข้าไปในรู ซึ่งลักษณะการแพร่นี้ ขึ้นกับขนาดโมเลกุลของพอลิเมอร์และขนาดของรูพรุน โมเลกุลขนาดต่าง ๆ จะถูกชะออกมากจากคอลัมน์ตามลำดับของขนาด โมเลกุลขนาดใหญ่ที่ไม่สามารถแพร่เข้าไปในรูพรุนได้จะผ่านคอลัมน์ออกมาก่อนเป็นอันดับแรก ส่วนโมเลกุลขนาดเล็กจะติดอยู่ในรูพรุนของเจลและใช้เวลาอยู่ในคอลัมน์นานกว่าและถูกชะออกมากายหลัง [42]

GPC ถูกนำมาใช้ประโยชน์อย่างกว้างขวางและใช้ได้กับพอลิเมอร์ที่มีหน้าแนกโมเลกุลต่ำไปจนถึงหน้าแนกโมเลกุลสูง สามารถใช้ได้กับตัวทำละลายและพอลิเมอร์หลายชนิด ขึ้นกับการเลือกชนิดของเจลที่ใช้ ในการศึกษาน้ำหนักโมเลกุลของพอลิเมอร์ P(LL-co-CL) และ P(LL-co-CL-co-G) ที่สังเคราะห์ได้ ทำโดยใช้เครื่อง เจลเพอร์มิเอชันโคอมาโทกราฟี Waters รุ่น R-2414 โดยใช้ตัวทำละลาย tetrahydrofluran ที่อุณหภูมิ  $40^{\circ}\text{C}$  และใช้คอลัมน์มาตรฐานพอลิสไตรีน ผลการวิเคราะห์ P(LL-co-CL) และ P(LL-co-CL-co-G) แสดงในรูปของโคมาโทแกรม GPC ดังรูป 3.23 และ 3.24 และสรุปผลในตาราง 3.13



รูป 3.22 โปรแกรม GPC ของ P(LL-co-CL)



รูป 3.23 โปรแกรม GPC ของ P(LL-co-CL-co-G)

ตาราง 3.13 น้ำหนักโมเลกุลเฉลี่ยและค่าการกระจายของ P(LL-co-CL) และ P(LL-co-CL-co-G)  
จากโคมาราโทแกรม GPC

Polymer code	$\overline{M}_n$	$\overline{M}_w$	Polydispersity $\overline{M}_w / \overline{M}_n$
P(LL-co-CL)	10760	28400	2.64
P(LL-co-CL-co-G)	12670	24850	1.96

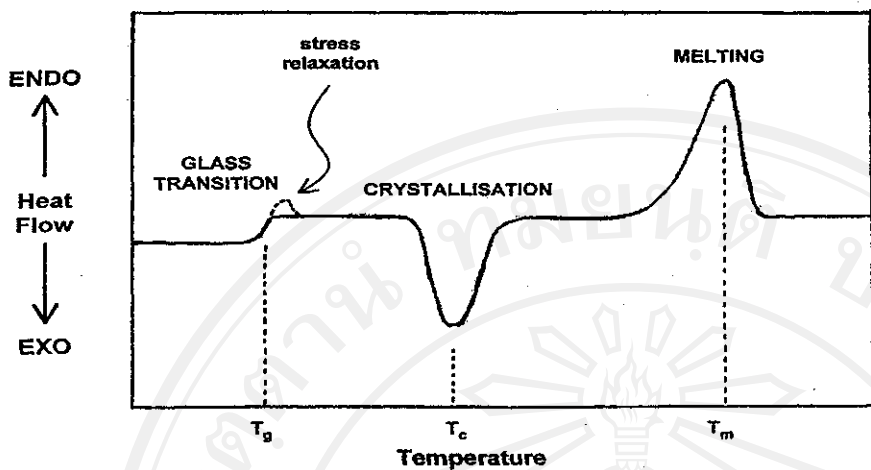
### 3.5.5 การวิเคราะห์สมบัติทางความร้อนของพอลิเมอร์ (Thermal Analyses)

สมบัติทางความร้อนของ P(LL-co-CL) และ P(LL-co-CL-co-G) ศึกษาโดยใช้เทคนิคดิฟเฟอเรนเชียลสแกนนิ่งแคลอริเมตรี และ เทคนิคเทอร์โมกราวิเมตรี ซึ่งมีรายละเอียดดังต่อไปนี้

#### 3.5.5.1 ดิฟเฟอเรนเชียลสแกนนิ่งแคลอริเมตรี

(Differential Scanning Calorimetry, DSC)

DSC เป็นเทคนิคที่นิยมใช้ศึกษาการเปลี่ยนแปลงทางความร้อน (thermal transitions) ของพอลิเมอร์ เมื่อให้ความร้อนแก่สาร ณ อุณหภูมิต่างๆ โดยวัดความแตกต่างของพลังงานที่ให้แก่สารตัวอย่างเทียบกับสารมาตรฐานหรือวัสดุเชือยอ้างอิง (inert reference material) [1,15-16] ดังนั้น DSC จึงเป็นการวัดพลังงานความร้อนที่ให้เข้าไป หรือปล่อยพลังงานออกมายากสารตัวอย่าง เมื่อมีการเปลี่ยนแปลงสมบัติของสารที่อุณหภูมิต่างๆ โดยแสดงผลในรูปของกราฟความสัมพันธ์ระหว่างพลังงานที่สารดูดเข้าไปหรือข้อเสนอจากสารตัวอย่างกับอุณหภูมิ เรียกว่า เทอร์โมแกรม ดังแสดงในรูป 3.24 ในรูปนี้แสดงอุณหภูมิที่มีการเปลี่ยนแปลงสมบัติทางกายภาพที่สำคัญของพอลิเมอร์ เช่น อุณหภูมิเปลี่ยนสถานะคล้ายแก้ว (glass transition temperature :  $T_g$ ) อุณหภูมิของการเกิดผลึก (crystalline temperature :  $T_c$ ) และอุณหภูมิการหลอมตัว (melting temperature :  $T_m$ ) ซึ่งการเปลี่ยนแปลงนี้ขึ้นอยู่กับความเป็นอสัมฐาน ความเป็นผลึก และประวัติทางความร้อน (thermal history) ของพอลิเมอร์ที่ใช้ศึกษา



รูป 3.24 เทอร์โมแกรมของพอลิเมอร์ทั่วไปที่ได้จากการวิเคราะห์ด้วย DSC

ผลจากการศึกษาทำให้ทราบถึงลักษณะเฉพาะของสารตัวอย่างที่วิเคราะห์ เช่น อุณหภูมิเปลี่ยนสถานะ ซึ่งหาได้จากการโดยตรง ความบริสุทธิ์ของสาร หาได้จากการพล็อตจากสมการ Van't Hoff (ดูภาคผนวก) และปริมาณพลีก ซึ่งสามารถคำนวณหาได้จากการความตันพันธ์ดังนี้

$$\% \text{ crystallinity} = \frac{\Delta H_m}{\Delta H_{m, 100\%}} \times 100 \%$$

เมื่อ  $\Delta H_m$  คือ ปริมาณความร้อนที่ใช้ในการหลอมพลีกที่มีอยู่ในตัวอย่างนั้นๆ ซึ่งคำนวณจากพื้นที่ได้กราฟของการหลอมเหลว (melting peak) ที่ได้จากเทอร์โมแกรม DSC ดังในรูป 3.24

$\Delta H_{m, 100\%}$  คือ ปริมาณความร้อนที่ใช้หลอมพลีกในพอลิเมอร์ชนิดเดียวกันที่มีความเป็นพลีก 100 %

แต่ปริมาณ  $\Delta H_{m, 100\%}$  จะหาได้ก็ต่อเมื่อเป็นพอลิเมอร์ที่สามารถแตกพลีกได้สมบูรณ์เท่านั้น ซึ่งไม่ใช่กรณีทั่วไปของพอลิเมอร์ วิธีการนี้จึงต้องใช้ร่วมกับข้อมูลจากเทคนิคอื่น เช่น XRD ซึ่งไม่ออกลักษณะเดียวกัน แต่ในงานวิจัยนี้จะใช้ข้อมูล  $\Delta H_m$  บวกซึ่งปริมาณพลีกสัมพันธ์ในพอลิเมอร์ชนิดเดียวกันที่ใช้ศึกษาเท่านั้น กล่าวคือ สำหรับพอลิเมอร์ชนิดเดียวกัน ซึ่งมีโครงสร้างพลีกเหมือนกัน เมื่อพอบวม  $\Delta H_m$  สูงกว่า หมายถึงมีปริมาณพลีกมากกว่า ทั้งนี้เพราะต้องการความร้อนในปริมาณที่สูงกว่าในการหลอมพลีกที่มีอยู่ แต่อย่างไรก็ตาม ในบางกรณีพลีกสามารถเกิดขึ้นได้ระหว่างการวิเคราะห์ด้วยเทคนิค DSC ที่อุณหภูมิเหมาะสม เช่น  $T_c$  โดยคายความ

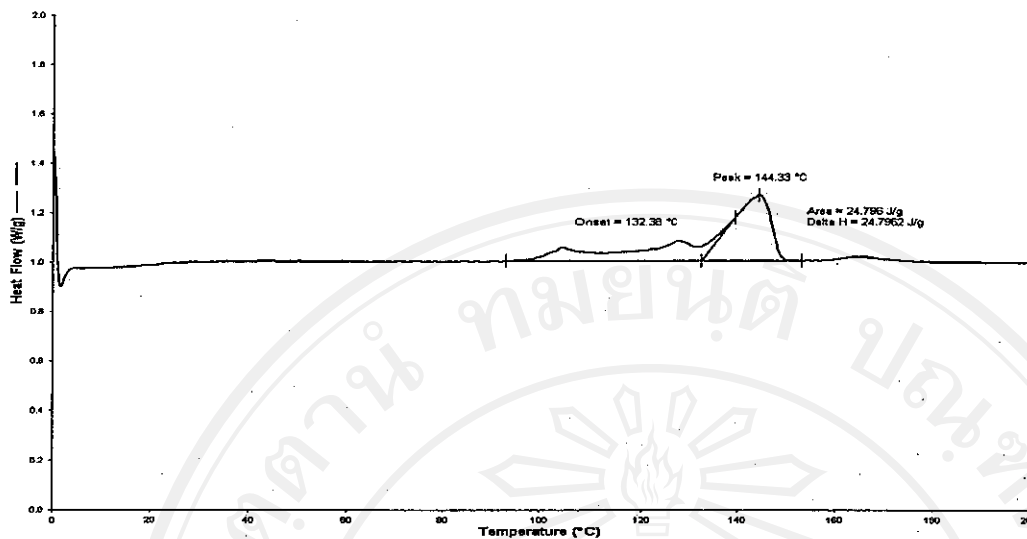
ร้อนในการเกิดผลึก ( $\Delta H_c$ ) ซึ่งปรากฏเป็นพื้นที่บนกราฟของการเกิดผลึก (crystallization) ดังแสดงในรูป 3.24 ในกรณีนี้ ปริมาณผลึกที่มีอยู่ก่อนในสารพอลิเมอร์ตัวอย่าง สามารถคำนวณได้จากผลต่างระหว่างความร้อนที่ใช้ในการหลอมผลึกทั้งหมดที่  $T_m$  กับความร้อนที่ใช้ในการเกิดผลึกที่  $T_c$  นั่นคือ ปริมาณผลึกที่มีอยู่ก่อนเท่ากับ  $\Delta H_m - \Delta H_c$  และปริมาณนี้เป็นประโยชน์ในการเปรียบเทียบถักยณะเฉพาะของพอลิเมอร์ตัวอย่างที่มีสมบัติต่างกัน [1-8]

ในงานวิจัยใช้เครื่อง Perkin-Elmer DSC 7 สำหรับวิเคราะห์ P(LL-co-CL) และ P(LL-co-CL-co-G) การเตรียมสารตัวอย่างทำได้โดย นำสารมาตัดเป็นชิ้นเล็กๆ จนสามารถรั่วลงในภาชนะลูมิเนนซ์ แล้วนำไปชั่งน้ำหนักปริมาณ 3-5 mg จากนั้นนำไปวิเคราะห์ด้วยสภาวะดังนี้

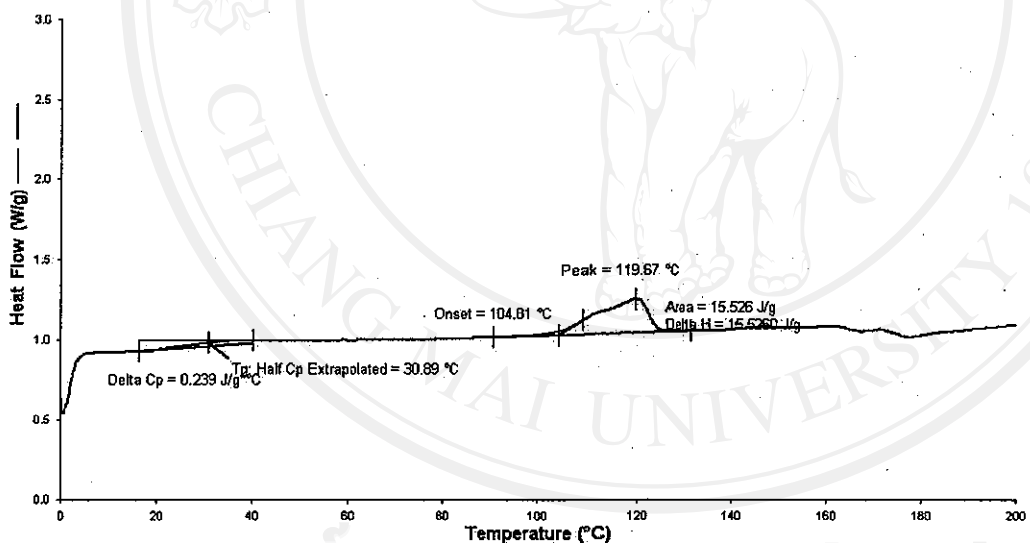
Start temperature	0 °C
Final temperature	200 °C
Scanning rate	10 °C/min
Baseline status	yes
Load temperature	20 °C
N <sub>2</sub> (High purity) flow rate	20 ml/min

รูป 3.25-3.26 แสดงเทอร์โมแกรม DSC ของ P(LL-co-CL) และ P(LL-co-CL-co-G)  
ตามลำดับ

ลิขสิทธิ์มหาวิทยาลัยเชียงใหม่  
Copyright © by Chiang Mai University  
All rights reserved



รูป 3.25 เทอร์โมแกรม DSC ของ P(LL-co-CL)



รูป 3.26 เทอร์โมแกรม DSC ของ P(LL-co-CL-co-G)

จากเทอร์โมแกรม DSC ของ P(LL-co-CL) ไม่แสดงค่า  $T_g$  แต่พบว่ามีค่า  $T_m$  ที่อุณหภูมิ 144 °C,  $\Delta H_m = 24.8 \text{ J/g}$  ส่วนเทอร์โมแกรมของ P(LL-co-CL-co-G) แสดงค่า  $T_g$  ที่อุณหภูมิ 31 °C  $T_m$  ที่อุณหภูมิ 120 °C,  $\Delta H_m = 15.5 \text{ J/g}$  และไม่พบ  $T_c$  ในทั้งสองกรณี จากการเปรียบเทียบเท่ากับ  $\Delta H_m$  พบว่า P(LL-co-CL) มีปริมาณพลังงานมากกว่า ทั้งนี้ผลึกที่เกิดขึ้นในทั้งสองกรณีเป็นพลัง  $\alpha$ -form ของ PLL [28]

### 3.5.5.2 เทอร์โมกราฟิเมตري (Thermogravimetry, TG)

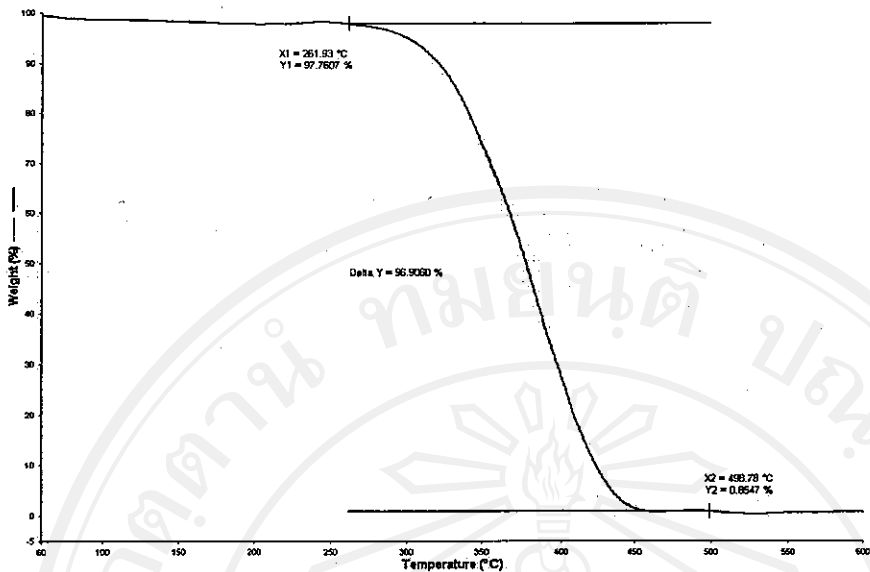
เทอร์โมกราฟิเมตريเป็นวิธีเบื้องต้นในการวิเคราะห์ความเสถียรของพอลิเมอร์เมื่อได้รับความร้อน โดยใช้พื้นฐานการซึ่งนำหนักอย่างต่อเนื่องด้วยเครื่องซึ่งที่มีความไว้สูง (thermobalance) ในระหว่างการวิเคราะห์ เมื่ออุณหภูมิของตัวอย่างซึ่งอยู่ในบรรยายภาพปกติ หรือก้าชเนื้อยะฉุกทำให้เพิ่มขึ้นอย่างต่อเนื่อง ข้อมูลการวิเคราะห์จะถูกบันทึกเป็นเทอร์โมแกรมที่แสดงการเปลี่ยนแปลงนำหนักของตัวอย่าง และอุณหภูมิ การสูญเสียน้ำหนักในช่วงแรกของการวิเคราะห์ หรือที่อุณหภูมิต่ำอาจเกิดจากการระเหยของน้ำหรือตัวทำละลาย แต่ที่อุณหภูมิสูงมักเกิดจากการถลายน้ำของพอลิเมอร์ ข้อมูลเหล่านี้ทำให้ทราบเกี่ยวกับความเสถียรต่ออุณหภูมิของพอลิเมอร์ เทคนิคนี้ยังมีประโยชน์มากในการวิเคราะห์หาสารที่ระเหย หรือสารเติมแต่งที่ใส่ลงไปในพอลิเมอร์อีกด้วย

โดยทั่วไปเทคนิคนี้แบ่งออกเป็น 2 ชนิด คือ

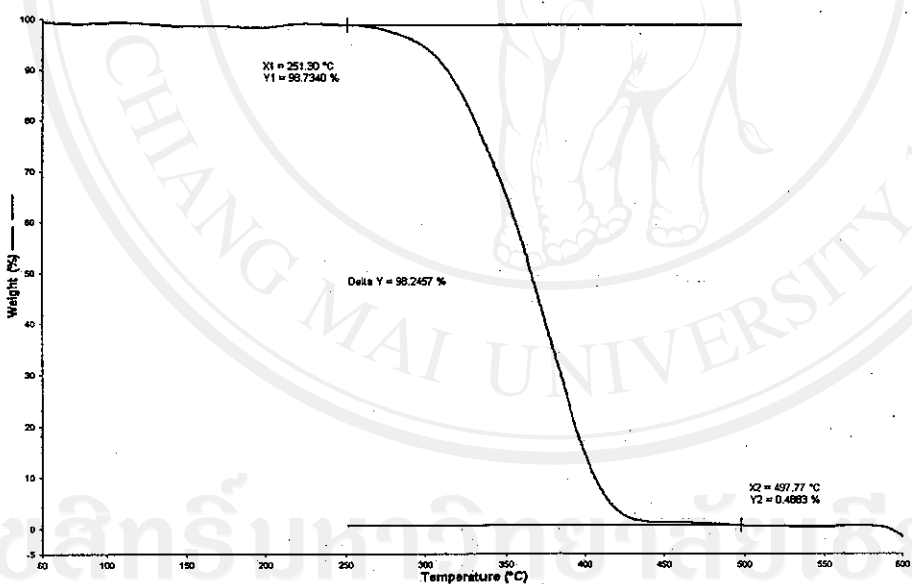
- (1) Isothermal thermogravimetry เป็นการวัดการเปลี่ยนแปลงของนำหนักสารตัวอย่างเทียบกับเวลาที่เพิ่มขึ้น โดยควบคุมอุณหภูมิให้คงที่
- (2) Non - isothermal thermogravimetry หรือ Dynamic thermogravimetry เป็นการวัดการเปลี่ยนแปลงของนำหนักสารตัวอย่างเทียบกับเวลาหรืออุณหภูมิที่เพิ่มขึ้น โดยควบคุมอัตราการเพิ่มอุณหภูมิให้คงที่ [64-65]

ในงานวิจัยนี้ใช้เครื่อง Perkin-Elmer TGA 7 ในการศึกษาความเสถียรต่อความร้อนของ P(LL-co-CL) และ P(LL-co-CL-co-G) โดยวิธี non-isothermal thermogravimetry ซึ่งตรวจวัดการเปลี่ยนแปลงนำหนักของพอลิเมอร์เทียบกับอุณหภูมิ โดยกำหนดสถานะที่ใช้ในการวิเคราะห์ตัวอย่างดังนี้

Start temperature	50 °C
Final temperature	600 °C
Scanning rate	20 °C/min
Baseline status	yes
Load temperature	50 °C
N <sub>2</sub> (High purity) flow rate	20 ml/min



รูป 3.27 เทอร์โมแกรม TGA ของ P(LL-co-CL)



รูป 3.28 เทอร์โมแกรม TGA ของ P(LL-co-CL-co-G)

รูป 3.27-3.28 แสดงเทอร์โมแกรม TGA ของ P(LL-co-CL) และ P(LL-co-CL-co-G) ตามลำดับ จากเทอร์โมแกรม TGA พบร่วมกันการสลายตัวทางความร้อนของ P(LL-co-CL) และ P(LL-co-CL-co-G) จะเริ่มต้นที่ประมาณ 262 และ 251 °C ตามลำดับ การสูญเสียน้ำหนักของพอลิเมอร์ เป็นแบบขั้นตอนเดียว อุณหภูมireิ่มต้นของการสลายตัว ( $T_g$ ) ที่พbnนีและอุณหภูมิการหลอม ( $T_m$ ) ที่ได้จากเทอร์โมแกรม DSC ยังเป็นประโยชน์อย่างมากในการกำหนดอุณหภูมิในการหลอมเหลวพอลิเมอร์เพื่อการปั้นหลอม รายละเอียดของกระบวนการปั้นหลอมจะกล่าวต่อไปในบทที่ 4



ลิขสิทธิ์มหาวิทยาลัยเชียงใหม่  
Copyright © by Chiang Mai University  
All rights reserved